

PET – Nutzen und Indikation beim NSCLC

Jörg Kotzerke

Klinik und Poliklinik für Nuklearmedizin
Universitätsklinikum Carl Gustav Carus
Technische Universität Dresden
PET-Zentrum Dresden-Rossendorf, OncoRay

Kostenerstattung in Europa



Europa im Vergleich: PET in der Onkologie

Wo und für welche Indikationen wird PET von den
Gesetzlichen Krankenkassen im ambulanten Bereich bezahlt?

	B	NL	F	GB	I	DK	FIN	CH	E	PL	D
Lungenkarzinom ¹⁾	✓ D St Re	✓	✓	✓	✓	✓	✓	✓	✓	✓	✓
Kolorektales Karzinom	✓ Re	✓	✓	✓	✓	✓	✓	✓ Re	✓	✓	
Kopf-Hals-Tumor	✓ Re	✓	✓	✓	✓	✓	✓		✓	✓	
Lymphom	✓ St Re	✓	✓	✓	✓	✓	✓	✓	✓	✓	
Melanom	✓ St Re	✓	✓	✓	✓	✓	✓	✓	✓	✓	
Ösophaguskarzinom	✓ St	✓	✓	✓	✓	✓	✓		✓	✓	
Pankreaskarzinom	✓ D St Re	✓	✓	✓	✓	✓	✓			✓	
Ovarialkarzinom	✓ Re	✓	✓	✓	✓					✓	
Mammakarzinom		✓	✓	✓	✓	✓	✓	✓	✓	✓	
Hodenkarzinom		✓	✓	✓	✓			✓		✓	
Schilddrüsenkarzinom		✓	✓	✓	✓	✓	✓			✓	
Hirntumoren	✓ Re	✓	✓	✓	✓	✓	✓	✓		✓	
Unbek. Primärtumor		✓	✓	✓	✓	✓	✓		✓	✓	

- ✓ PET wird vergütet (Von GKV akzept. Indikation)
- ✓ PET ist Standarduntersuchung!
- ✓ Priorität bei Bewertung von Effektivität und Outcome
- ✓ Akzeptierte Indikation
- ✓ Akzeptierte, aber selten nachgefragte Indikation

- 1) Nicht kleinzelliges Bronchialkarzinom

D
St
Re

Diagnose benigne/maligne
Prätherapeutisches Staging
Nachweis eines Rezidives oder Restaging

Entwicklungsland
PET nur für
Privatpatienten

„Nr. 14 Positronen-Emissions-Tomographie (PET)

§ 1 Zugelassene Indikationen

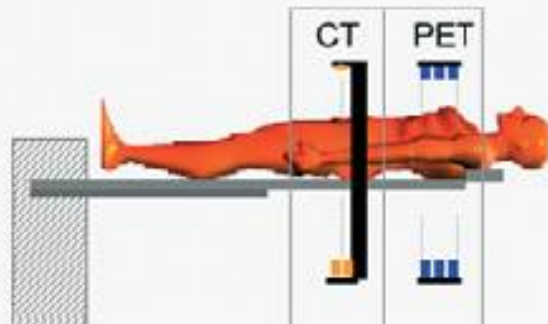
Die PET darf für die folgenden Indikationen bei Vorliegen der Voraussetzungen nach §§ 2, 3 zulasten der gesetzlichen Krankenversicherung als vertragsärztliche Leistung erbracht werden:

1. Bestimmung des Tumorstadiums von primären nicht kleinzelligen Lungenkarzinomen einschließlich der Detektion von Fernmetastasen
2. Nachweis von Rezidiven (bei begründetem Verdacht) bei primären nicht kleinzelligen Lungenkarzinomen
3. Charakterisierung von Lungenrundherden, insbesondere Beurteilung der Dignität peripherer Lungenrundherde bei Patienten mit erhöhtem Operationsrisiko und wenn eine Diagnosestellung mittels einer invasiven Methodik nicht möglich ist.

1. Patientenlagerung, Topogram



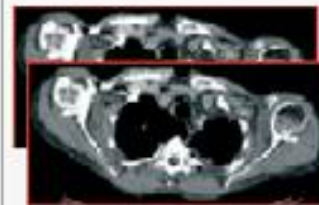
Topogram



2. CT Scan

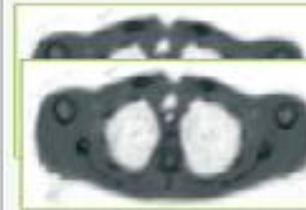


Spiral CT



CT Bilder

CT AC

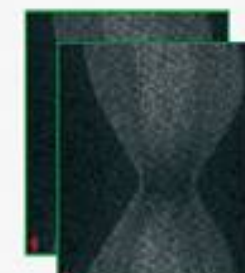


Schwächungsbild

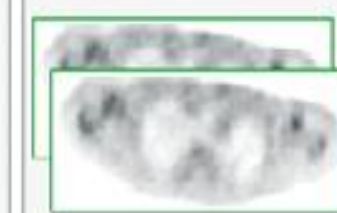


ACF

3. CT Scan

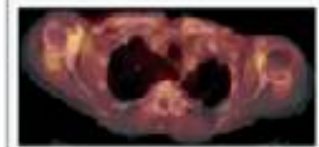
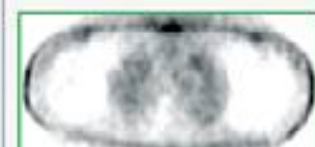


Emissions Scan



Emissions Bilder

4. Rekonstruktion



Vorteile PET/CT

- Logistik: one stop shop
- Identische Positionierung
- Reduzierte Bewegungsartefakte
- CT-Daten auch zur Schwächungskorrektur für PET
- CT-Daten auch zur Bestrahlungsplanung (inkl. funktioneller PET-Information) bei entsprechender Lagerung
- Interdisziplinäre Befundung (erhöhte Kompetenz)

PET beim Lungenkarzinom

- Artdiagnose des unklaren Lungenrundherdes
- Staging eines bekannten NSCLC vor Operation oder kurativer Bestrahlung (N, M)
- Therapie-Monitoring bei neo-adjuvanter Chemotherapie (Prognose)
- Verbesserung der Bestrahlungsplanung (Zielvolumen-Definition, Dosis-Eskalation)
- Rezidiv-Diagnostik

Accuracy of Positron Emission Tomography for Diagnosis of Pulmonary Nodules and Mass Lesions

A Meta-analysis

Michael K. Gould, MD, MS

Courtney C. Maclean, BA

Ware G. Kuschner, MD

Chara E. Rydzak, BA

Douglas K. Owens, MD, MS

Context Focal pulmonary lesions are commonly encountered in clinical practice, and positron emission tomography (PET) with the glucose analog 18-fluorodeoxyglucose (FDG) may be an accurate test for identifying malignant lesions.

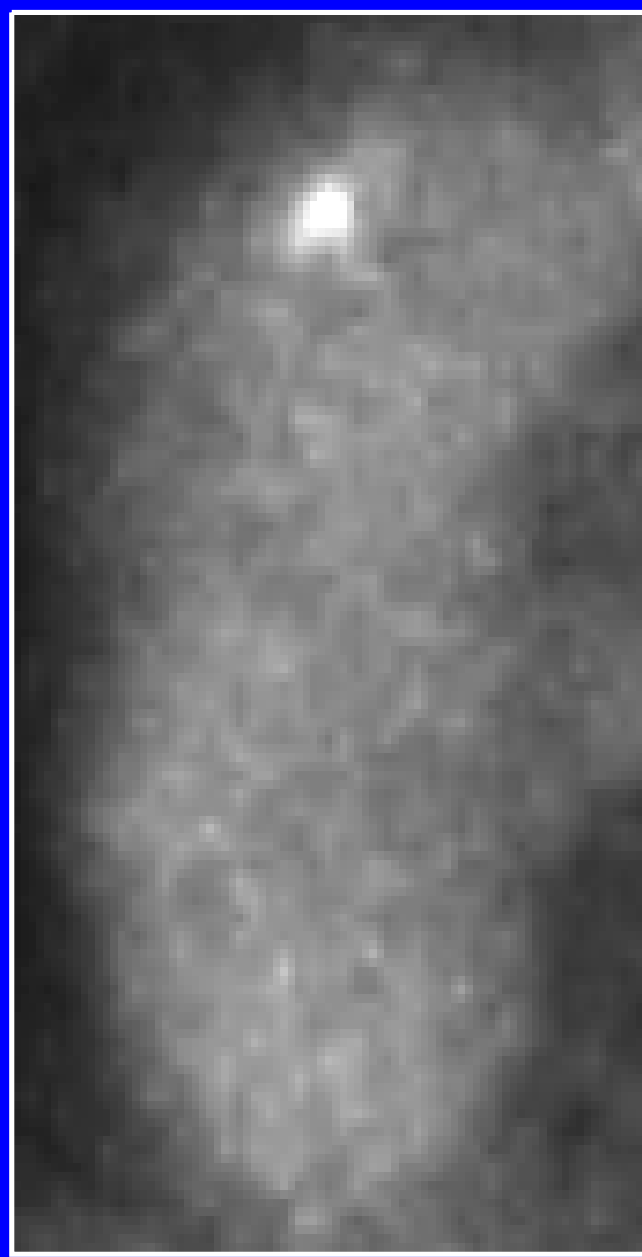
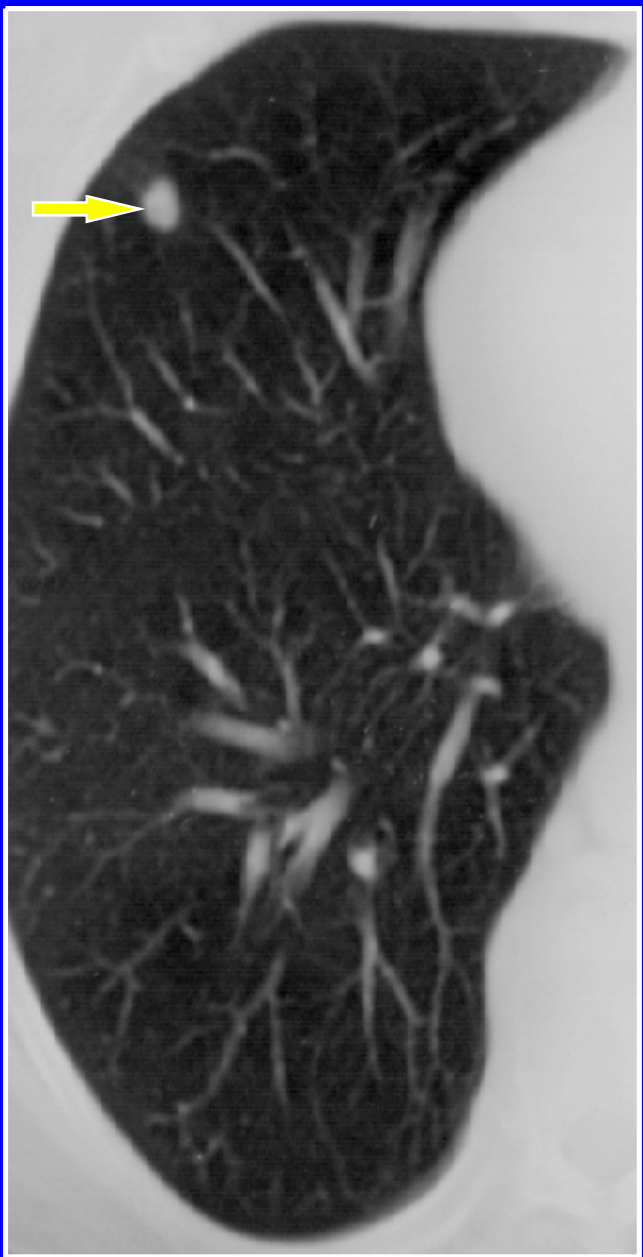
Objective To estimate the diagnostic accuracy of FDG-PET for malignant focal pulmonary lesions.

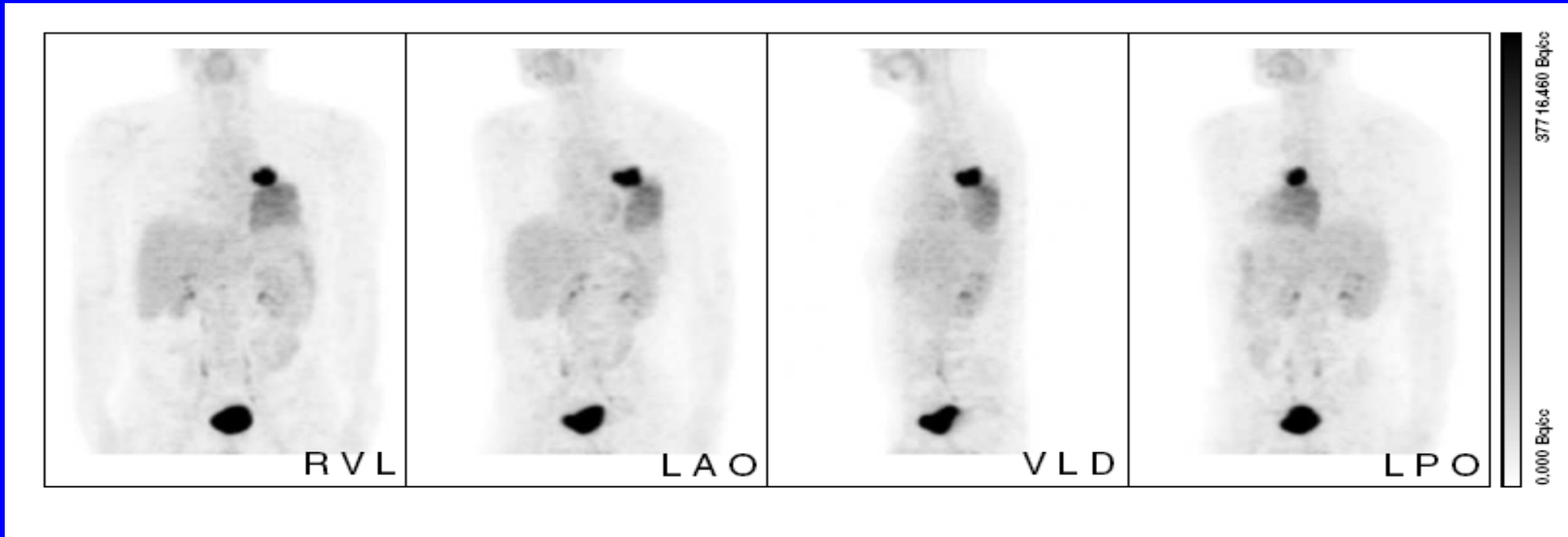
Data Sources Studies published between January 1966 and September 2000 in the MEDLINE and CANCERLIT databases; reference lists of identified studies; abstracts from recent conference proceedings; and direct contact with investigators.

Study Selection Studies that examined FDG-PET or FDG with a modified gamma camera in coincidence mode for diagnosis of focal pulmonary lesions; enrolled at least

FOCAL PULMONARY LESIONS ARE commonly encountered in clinical practice. Such lesions may be classified as nodules or masses.

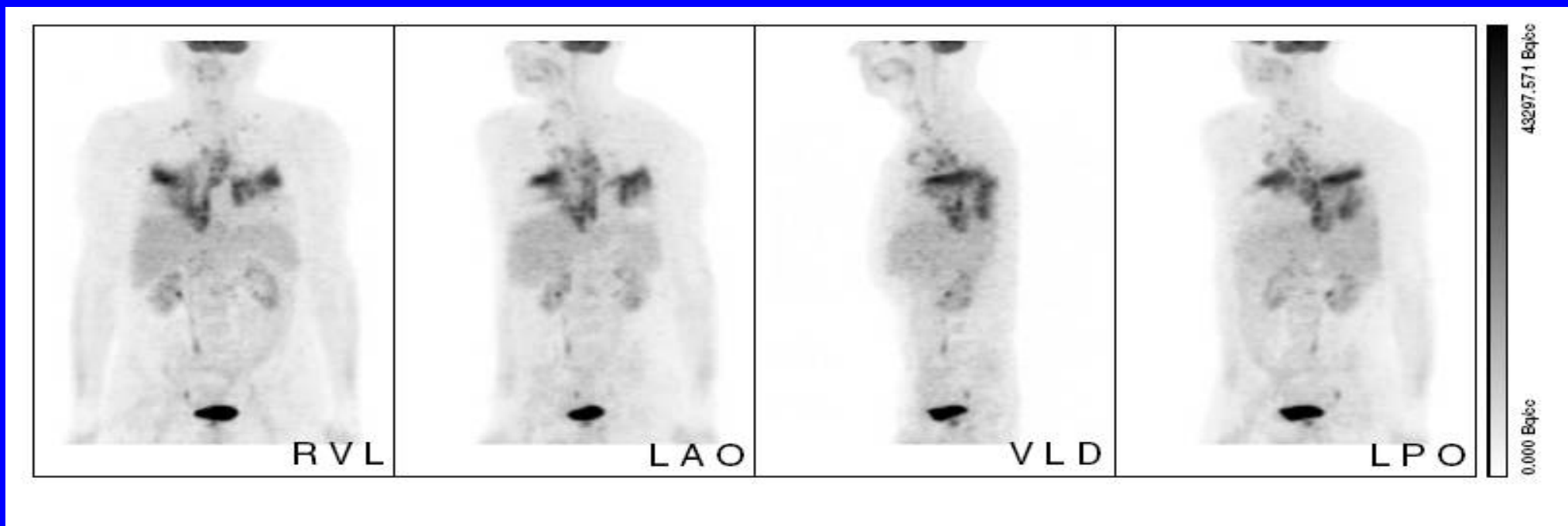
For 1474 focal pulmonary lesions of any size, the maximum joint sensitivity and specificity (the upper left point on the receiver operating characteristic curve at which sensitivity and specificity are equal) of FDG-PET was 91.2% (95% confidence interval, 89.1%-92.9%). In current practice, FDG-PET operates at a point on the summary receiver operating characteristic curve that corresponds approximately to a sensitivity and specificity of 96.8% and 77.8%, respectively. There was no difference in diag-





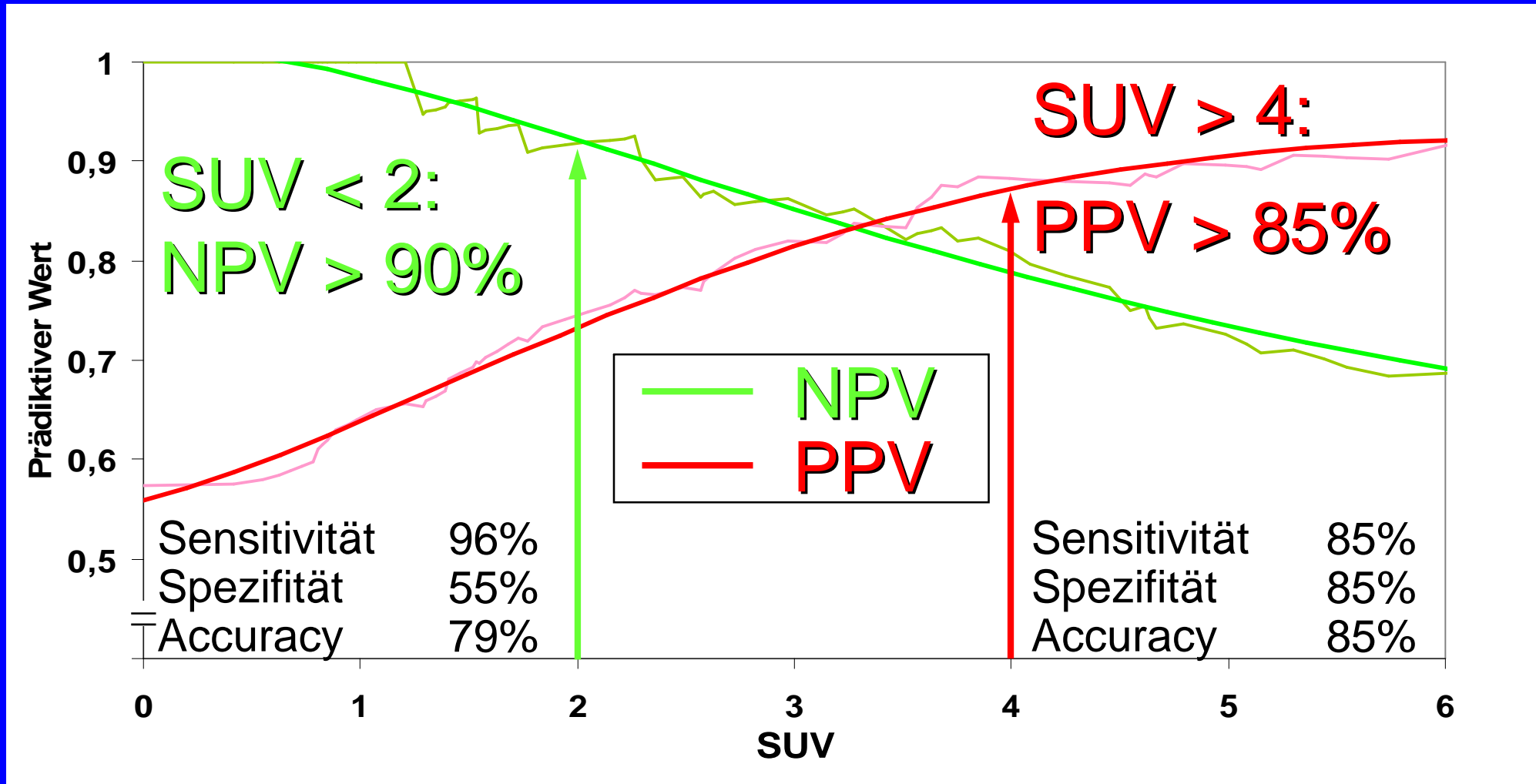
Patient, 56 Jahre, NSCLC

Fall 5

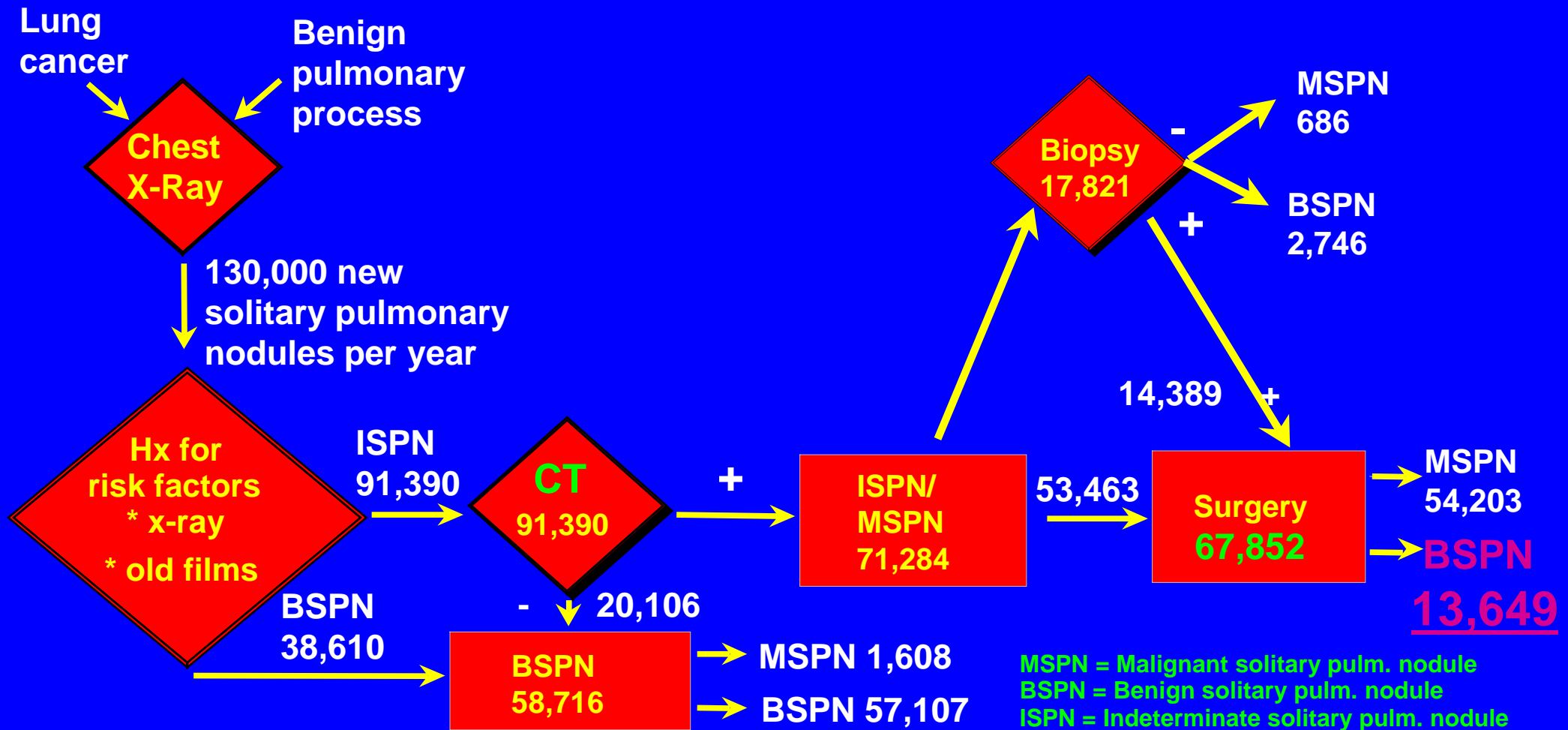


Patient, 64 Jahre, Sarkoidose

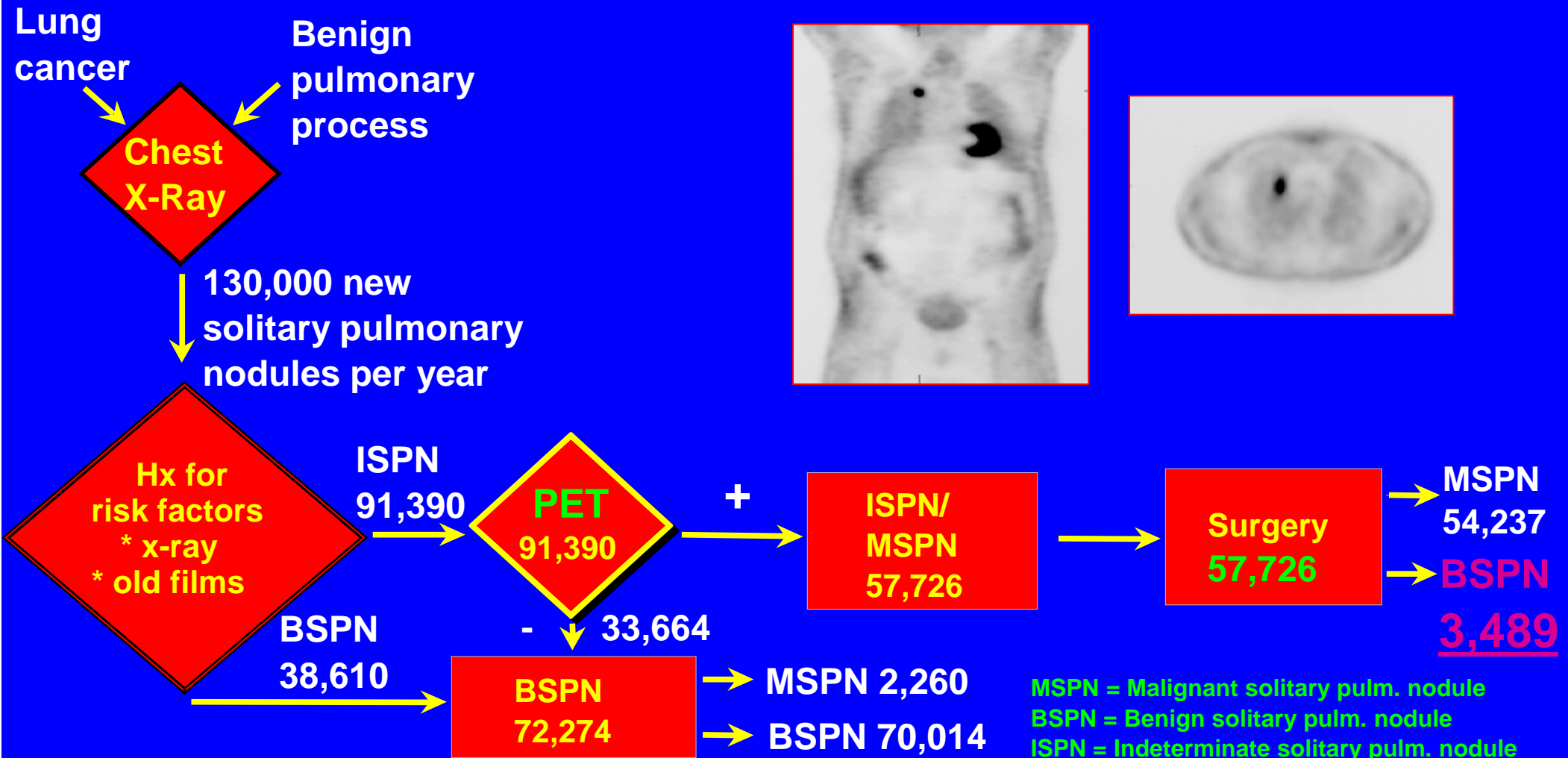
SUV im SPN: Prädiktive Werte



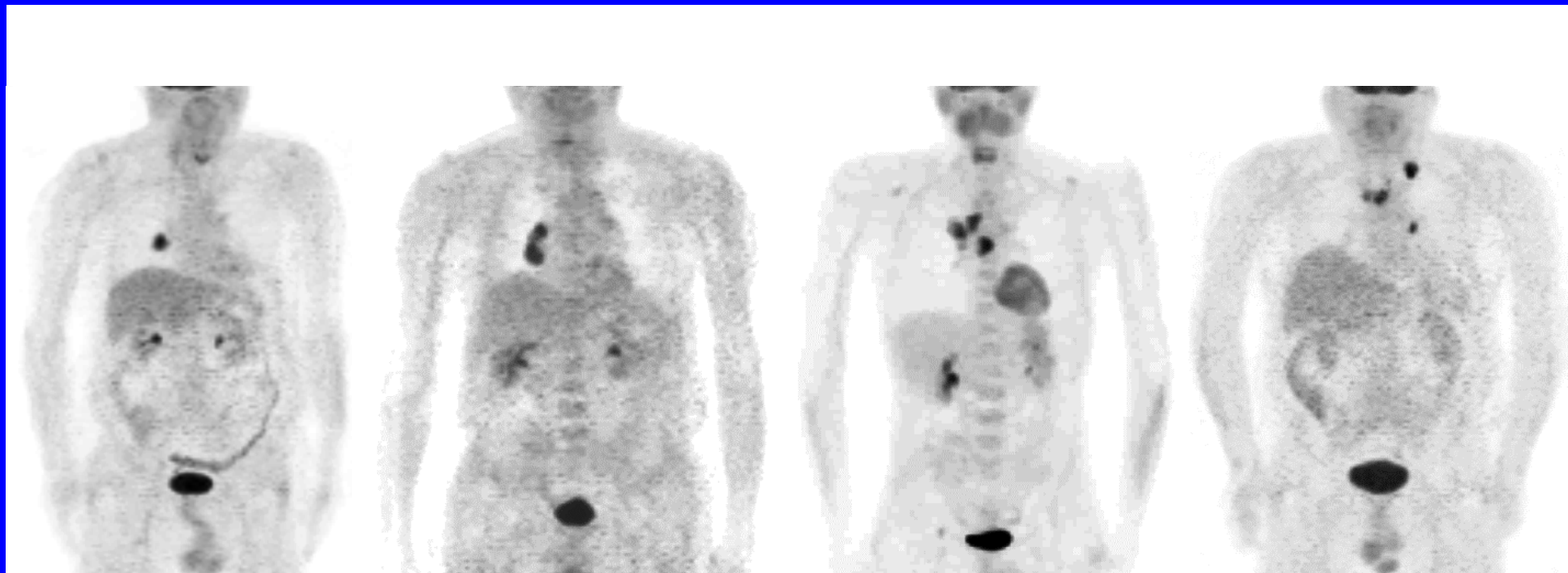
Solitary Pulmonary Nodules: Conventional Algorithm



Solitary Pulmonary Nodules: Prospective PET Algorithm



N-Staging mit FDG-PET



N0

N1

N2

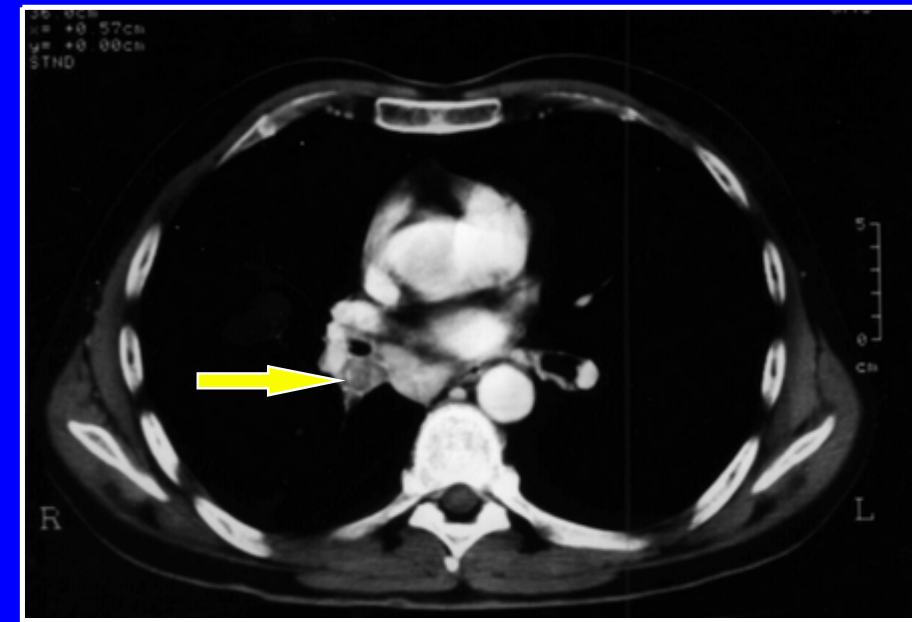
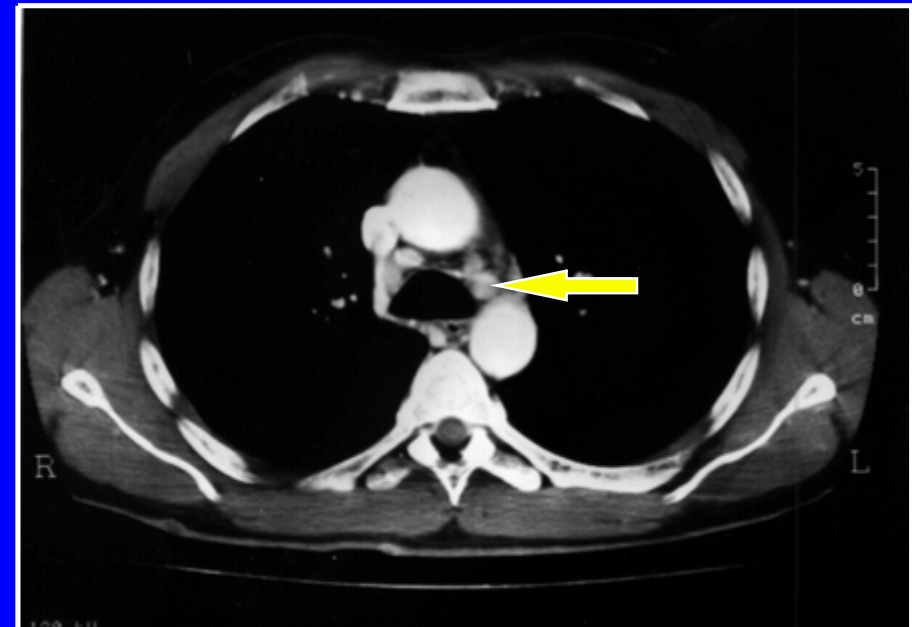
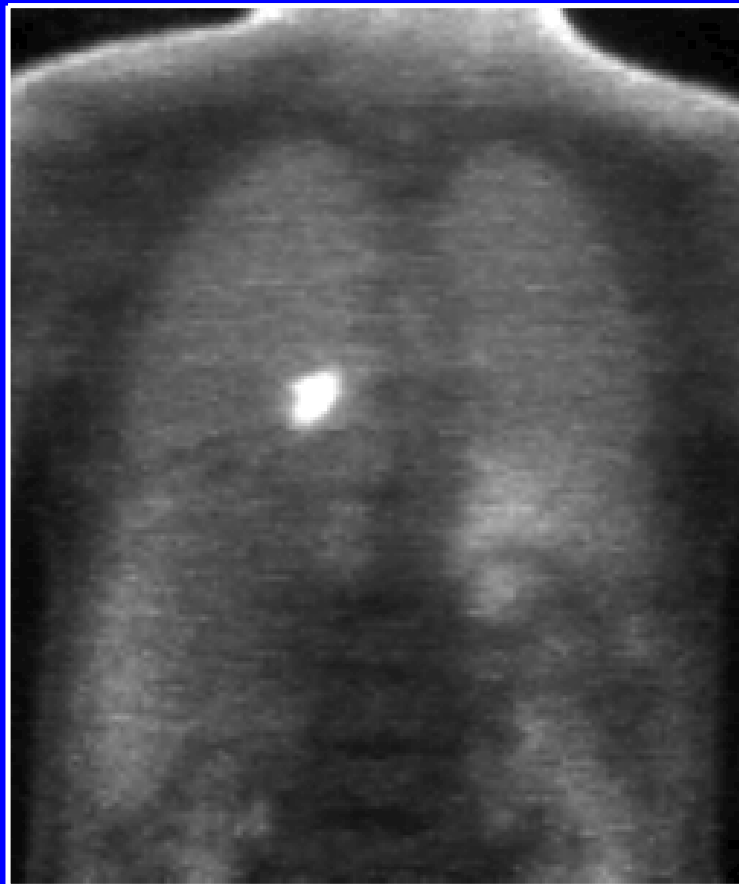
N3

BC re. Unterlappen

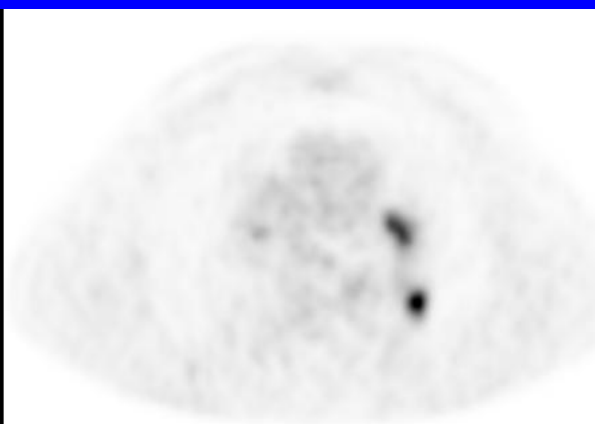
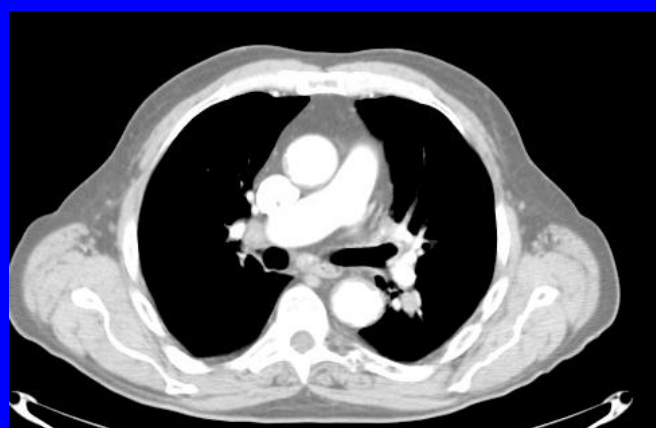
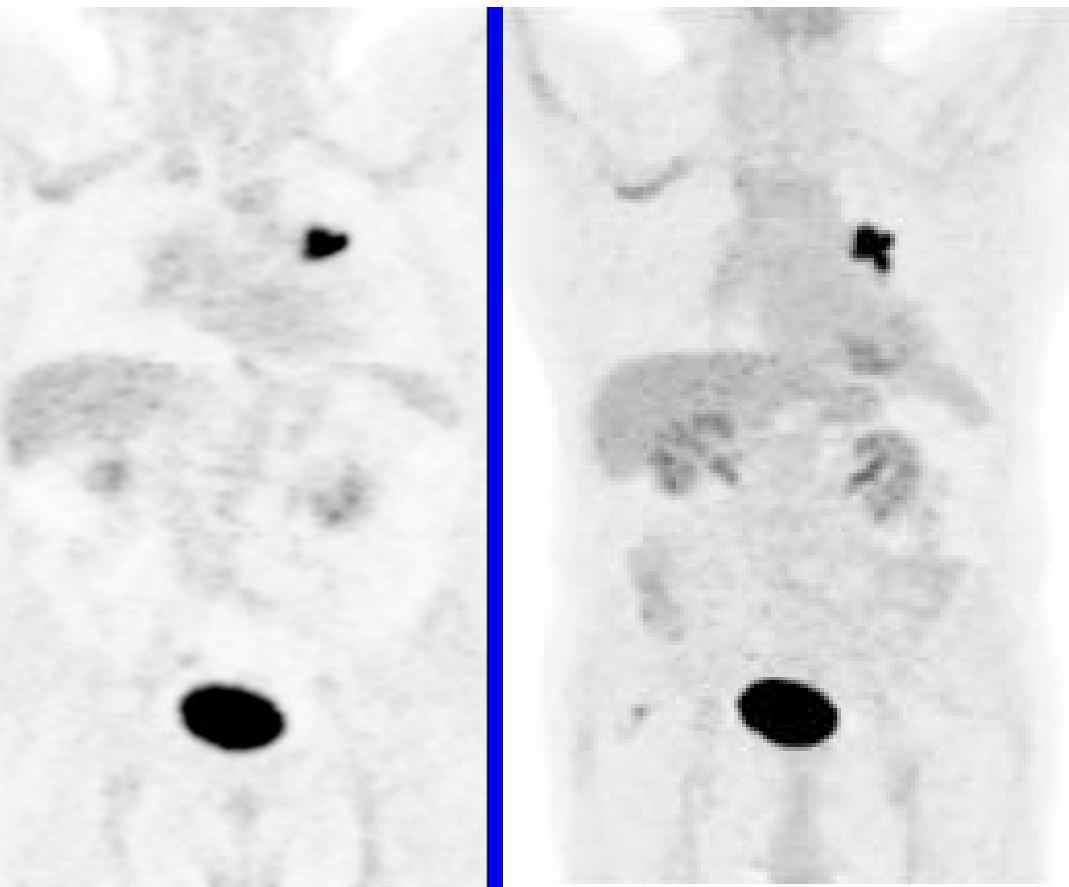
CT: N2 (N3)

FDG-PET: N0

Histologie: N0



NSCLC 7/02
Preoperatives
Staging
pT2N1M0



ZIK OncoRay Dresden

Koronal

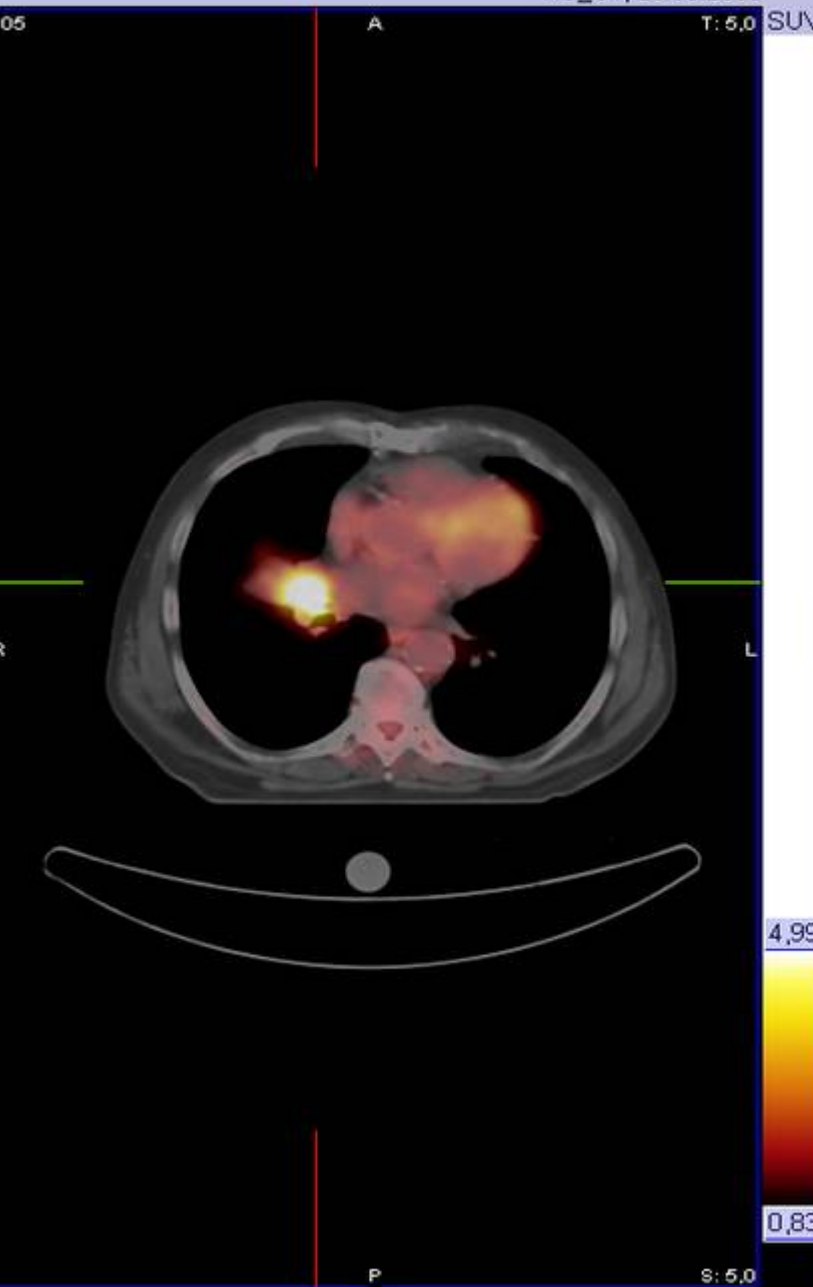
PET WB [Transformed Object], 30.09.2005



Transversal

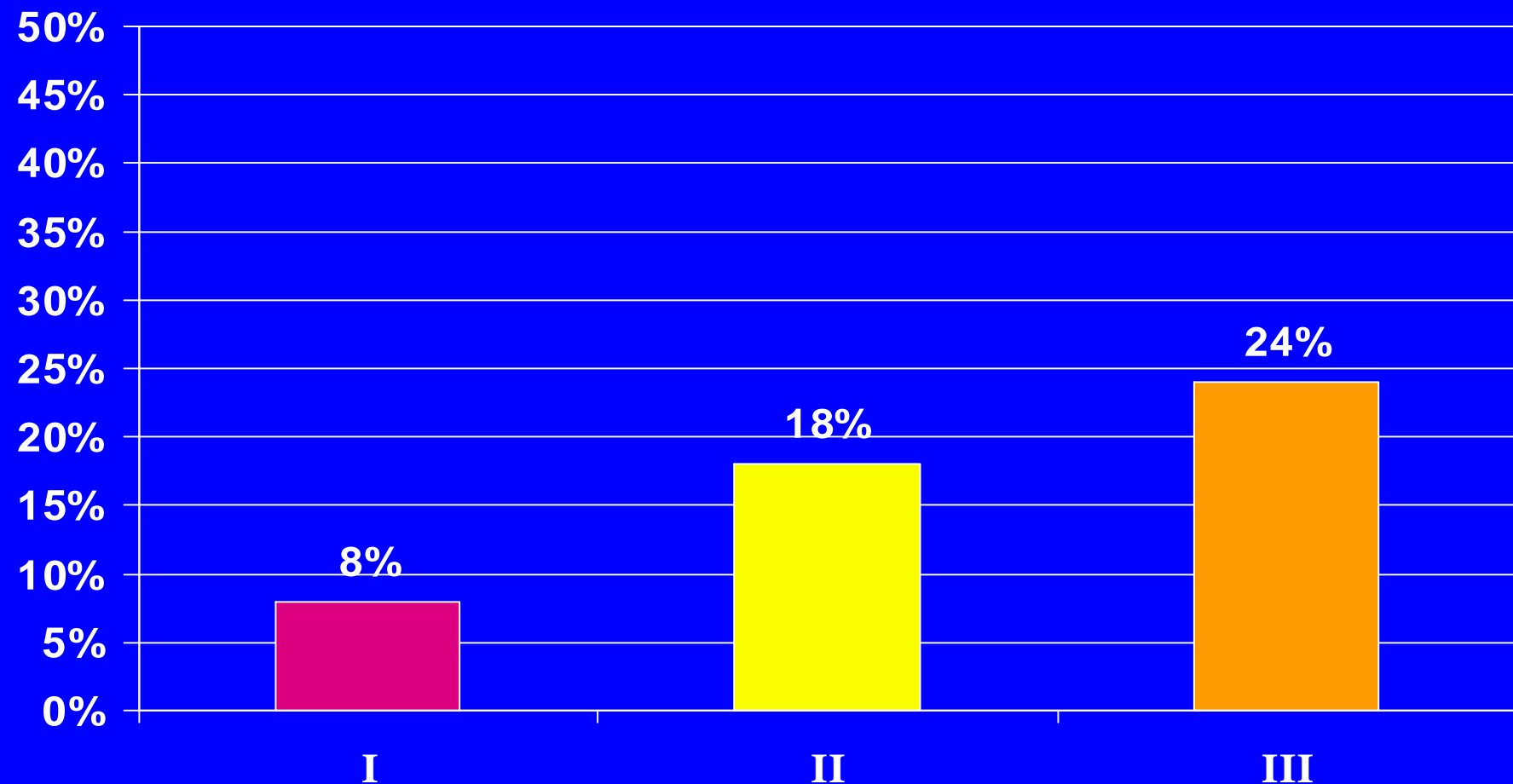
AC_CT, 25.08.2005

T: 5,0 SUV



Pat. HS,
männlich
67 Jahre
BCA T2N0M0
konsekutive
Atelektase

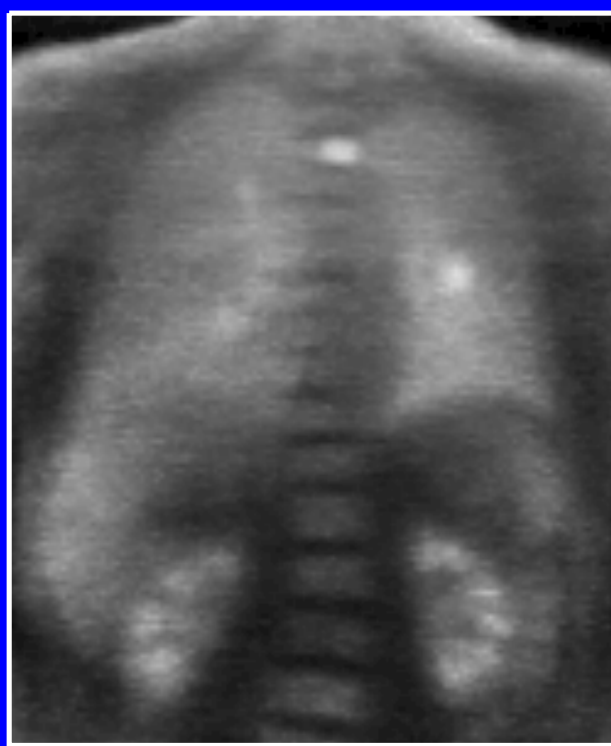
FDG-PET: M1 nach konventionellem M0-Staging



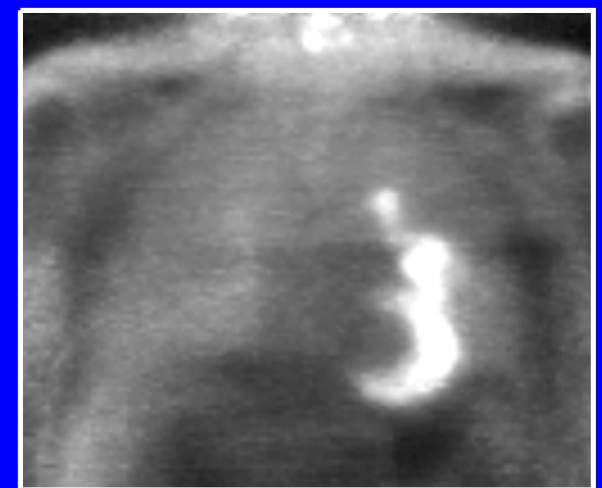
BC li. OL mit vorher nicht bekannten ossären Metastasen (N1 M1)



sagittal

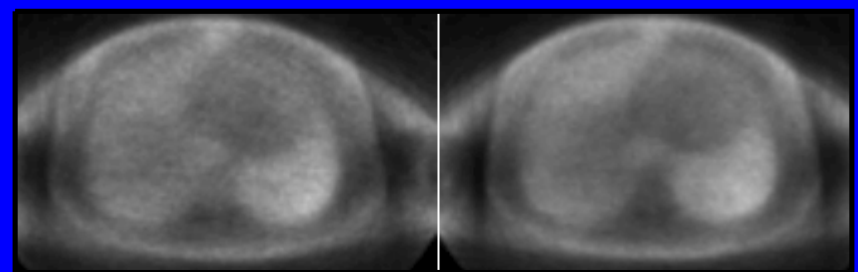
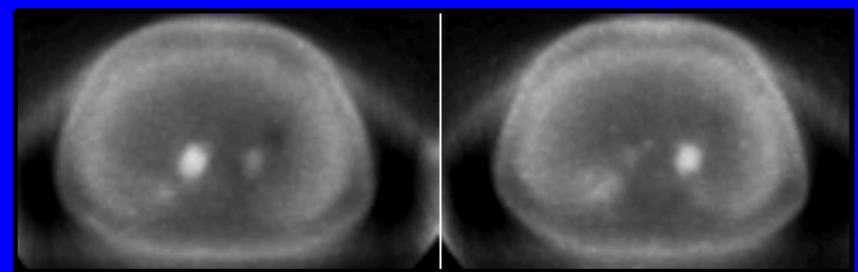
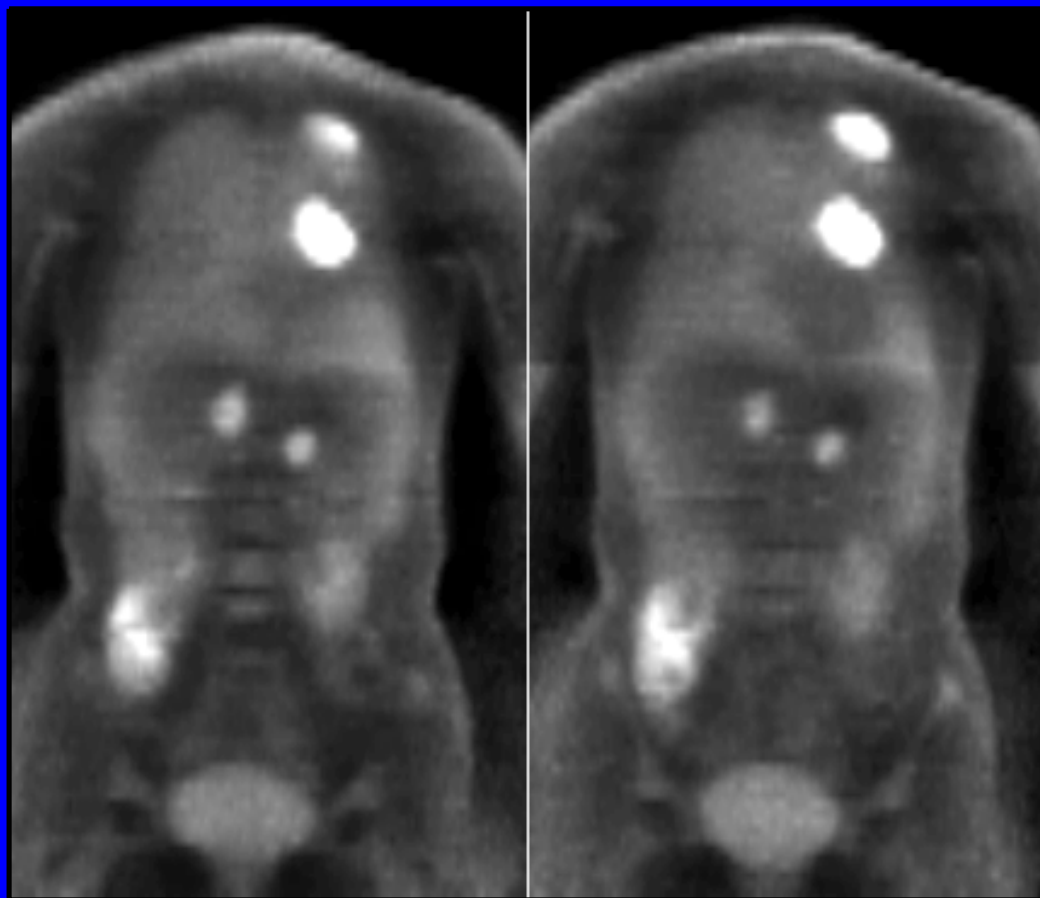


coronal (dorsal)



coronal (ventral)

Bronchial-Karzinom mit Nebennierenmetastasen bds.

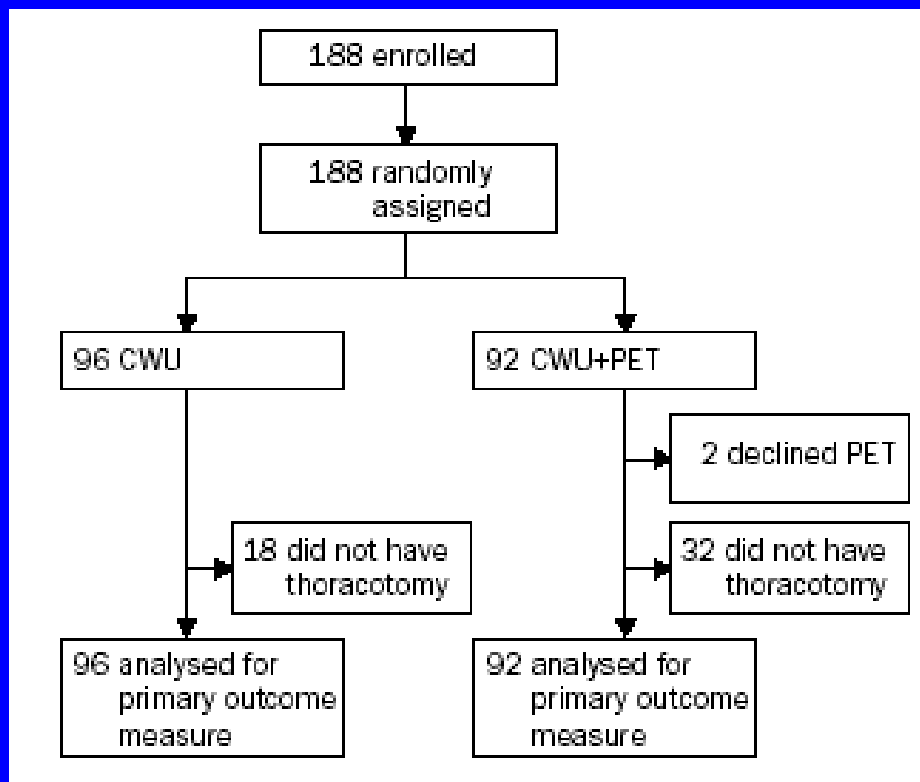


Änderungen in der Therapie durch FDG-PET im Primärstaging des NSCLC

Autor	Jahr	n	Prozentuale Änderungen NM-Staging mit FDG-PET
Knopp	1992	49	33% (16/49)
Lewis	1994	34	41% (14/34)
Baum	1995	19	32% (6/19)
Valk	1995	57	51% (29/57)
Bury	1996	61	31% (19/61)
Guhlmann	1997	32	28% (9/32)
Summe		252	37% (93/252)

Effectiveness of positron emission tomography in the preoperative assessment of patients with suspected non-small-cell lung cancer: the PLUS multicentre randomised trial

Harm van Tinteren, Otto S Hoekstra, Egbert F Smit, Jan H A M van den Bergh, Ad J M Schreurs, Roland A L M Stallaert, Piet C M van Velthoven, Emile F I Comans, Fred W Diepenhorst, Paul Verboom, Johan C van Mourik, Pieter E Postmus, Maarten Boers, Gerrit J J Teule, and the PLUS study group*



Characteristic	CWU (n=96)	CWU+PET (n=92)
Age (years, mean [SD])	65 (10)	66 (10)
Sex		
Men	75 (78%)	69 (75%)
Women	21 (22%)	23 (25%)
Karnofsky index		
70–80	6 (6%)	10 (11%)
90–100	90 (94%)	82 (89%)
Weight loss >5%	15 (16%)	14 (15%)
Clinical stage		
I	63 (66%)	58 (63%)
II	5 (5%)	6 (7%)
IIIA	22 (23%)	23 (25%)
IIIB	6 (6%)	4 (4%)
IV*		1 (1%)
Comorbidity		
Vascular, diabetes mellitus	31 (32%)	30 (33%)
Chronic obstructive pulmonary disease	30 (31%)	23 (25%)
Previous malignancies	13 (14%)	17 (19%)
Definite diagnosis of non-small-cell lung cancer	46 (48%)	48 (52%)
Pre-randomisation imaging tests (CT of the thorax excluded)	56 (58%)	54 (59%)
Bone scan	26 (27%)	25 (27%)
CT/US of the abdomen	46 (48%)	42 (46%)
CT/MRI of the brain	3 (3%)	5 (5%)
CT/MRI of other area	1 (1%)	5 (5%)
Radiograph of other area	7 (7%)	10 (11%)

Data are number of patients (%) unless otherwise stated. CT=computed tomography; US=ultrasound; MRI=magnetic resonance imaging. *Solitary brain metastasis on CT.

	CWU (n=96)	CWU+PET (n=92)
No thoracotomy		
Confirmed N2/3	18 (19%)	32 (35%)
Confirmed distant metastases	10	18
Benign primary lesions	1	7
Other tumour	2	3
Intercurrent morbidity, refusal	2	1
	3	3
Thoracotomy		
Non-futile thoracotomy	78 (81%)	60 (65%)
Futile thoracotomy	39 (41%)	41 (44%)
Benign	39 (41%)	19 (21%)
Explorative thoracotomy	7	2
IIIA–N2	1	1
IIIB	6	4
Recurrence or death within 1 year	6	2
	19	10

Table 2: **Specification of primary outcome**

Cost-effectiveness of FDG-PET in staging non-small cell lung cancer: the PLUS study.

Verboom P, van Tinteren H, Hoekstra OS, et al.
Eur J Nucl Med Mol Imaging (2003) 30:1444-9

CWU: 9573 € per patient

CWU + PET: 8284 € per patient

The major cost driver was the number of hospital days related to recovery from surgery.



Contents lists available at ScienceDirect

European Journal of Radiology

journal homepage: www.elsevier.com/locate/ejrad

The value of positron emission tomography in patients with non-small cell lung cancer

Frank Kee^{a,*}, Sara Erridge^b, Ian Bradbury^c, Karen Cairns^d

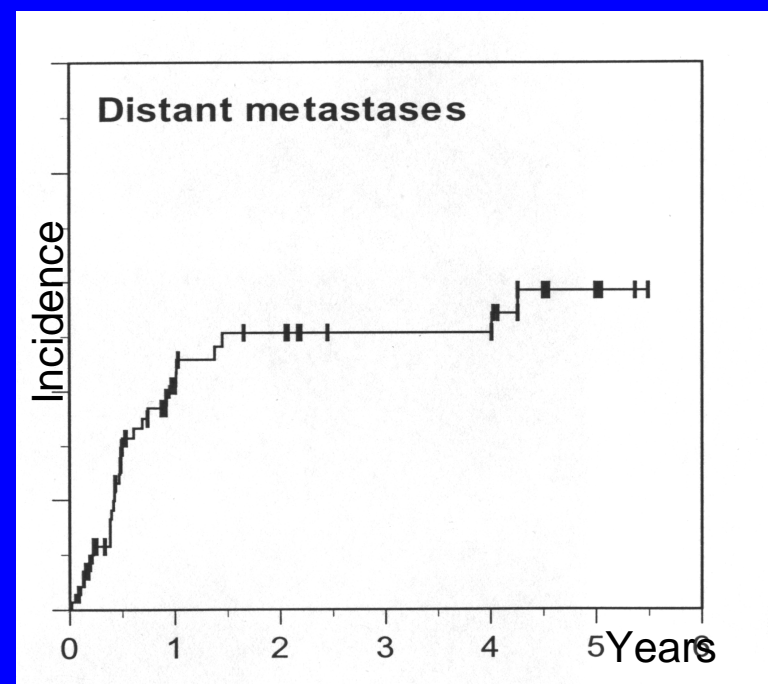
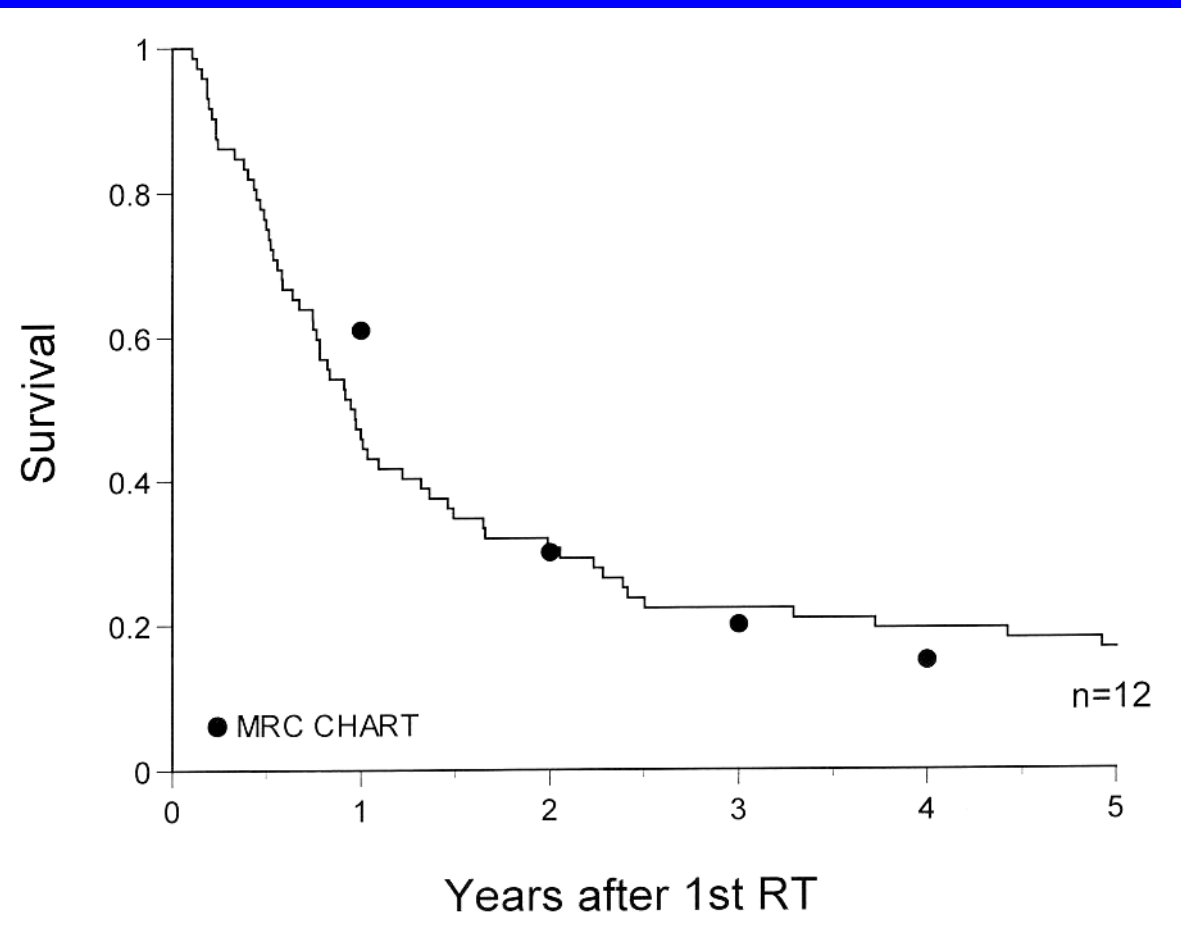
Results: The model confirmed the apparent cost-effectiveness of FDG-PET and indicated that the EVPI associated with the utility of futile thoracotomy considerably exceeds that associated with measures of accuracy.

Conclusion: The study highlights the importance of patient related utilities in assessing the cost-effectiveness of diagnostic technologies. In the specific case of PET for pre-operative staging of NSCLC, future research effort should focus on such elicitation, rather than further refinement of accuracy estimates.

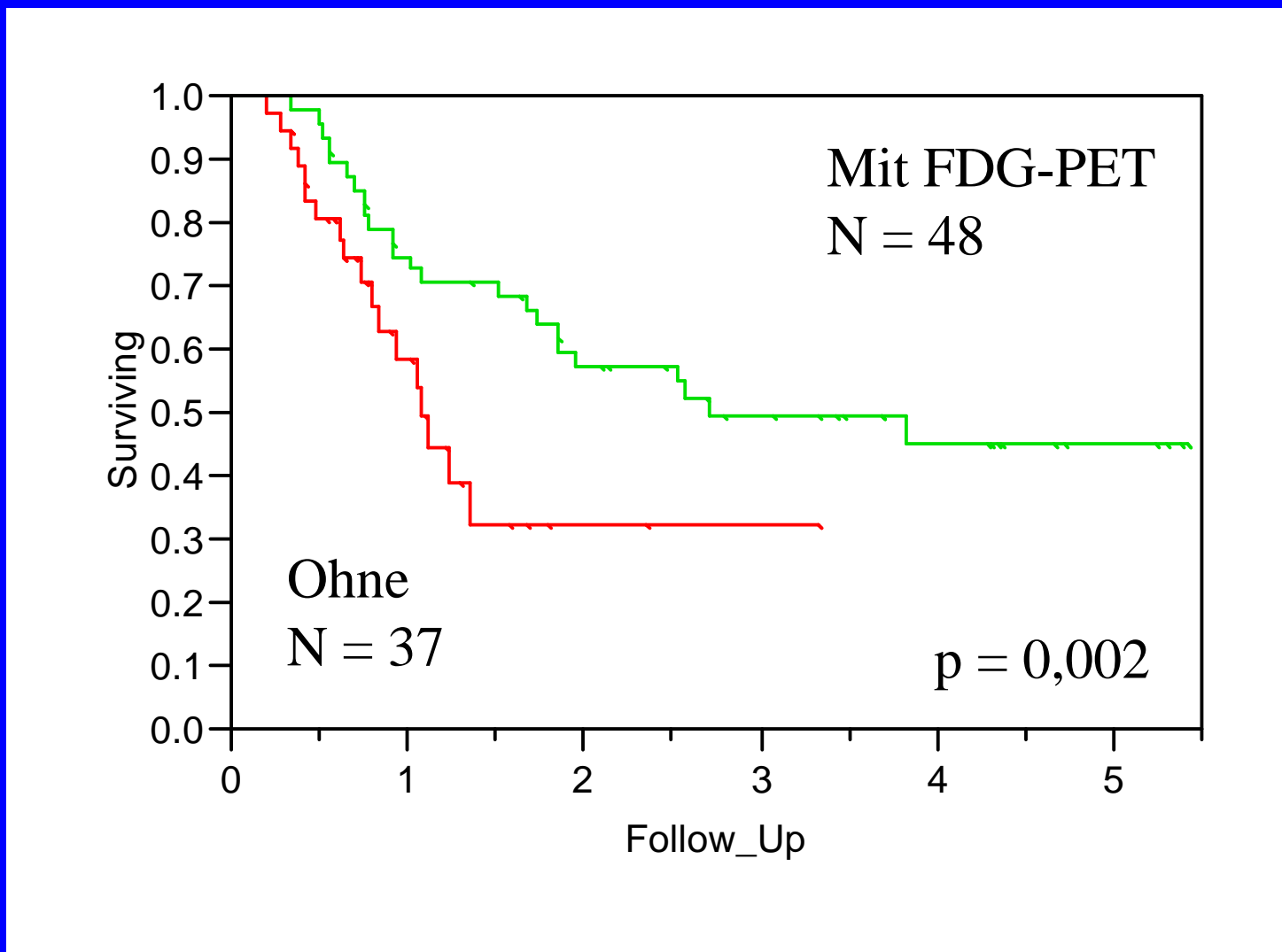
EVPI: expected value of perfect information

Fazit: der jüngere Pat. profitiert mehr vom PET als der ältere.

CHARTWEL-Bronchus Phase I/I



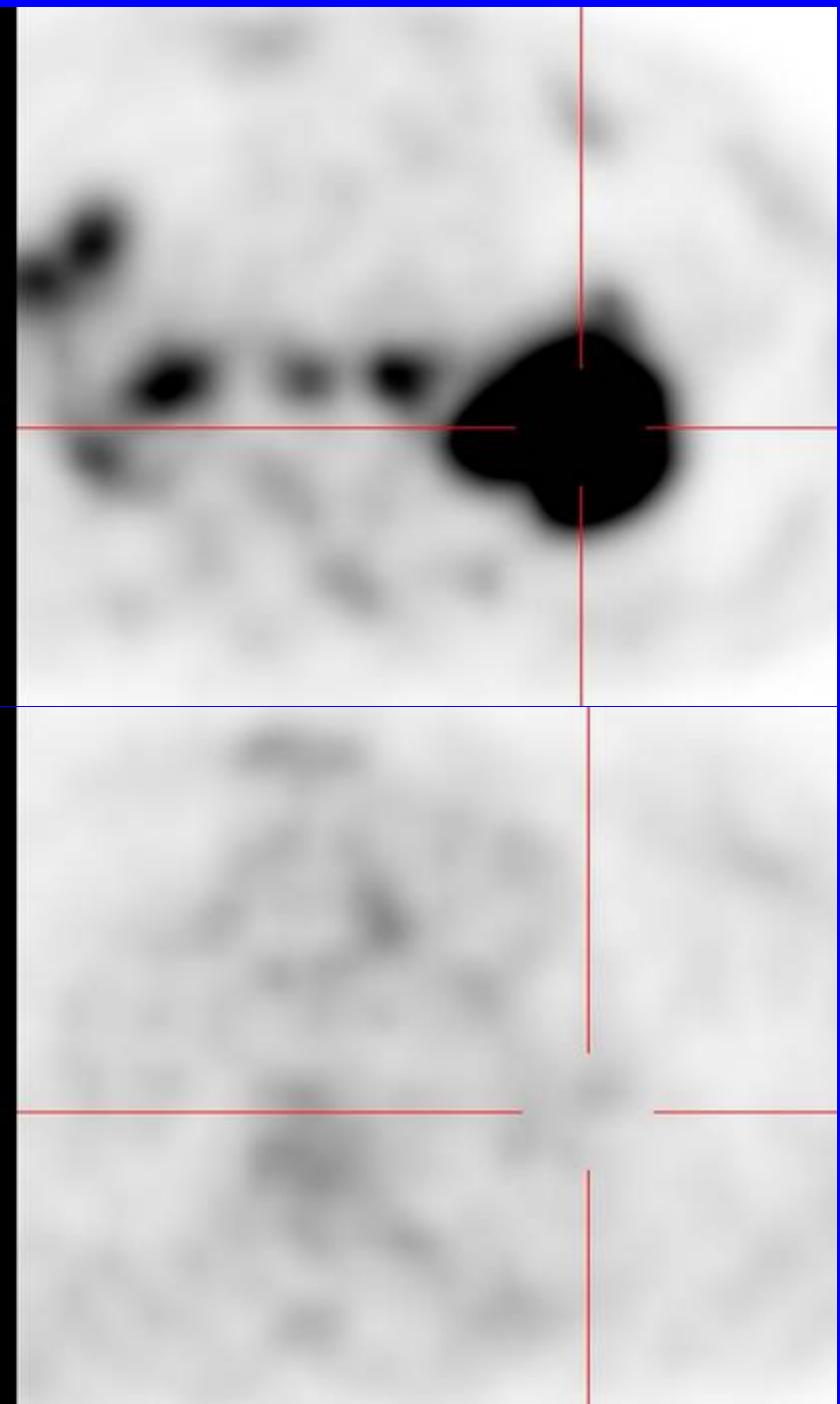
Adjuvante Radiochemotherapie und kurative Operation beim NSCLC Stadium III



Therapie-Monitoring

Abnahme der FDG-Speicherung ist Ausdruck
abnehmender Tumor-Vitalität / -Zellzahl

- Lymphom
- Bronchial-Karzinom
- Mamma-Karzinom
- Oesophagus-Karzinom
- GIST
- Kolorektale Lebermetastasen



Metabolischer Non-Responder



vor Therapie

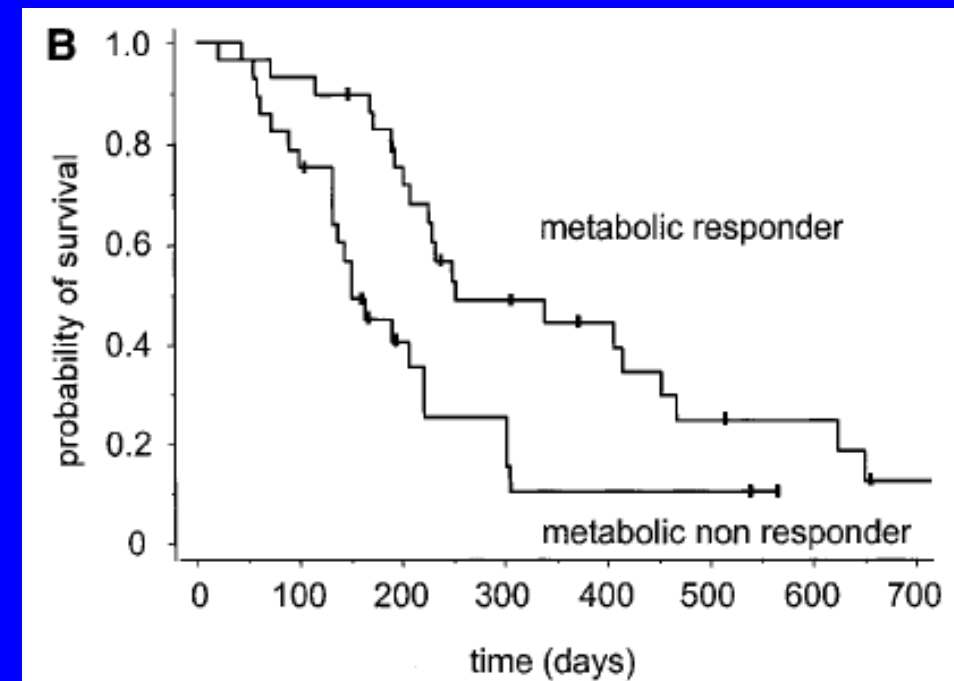
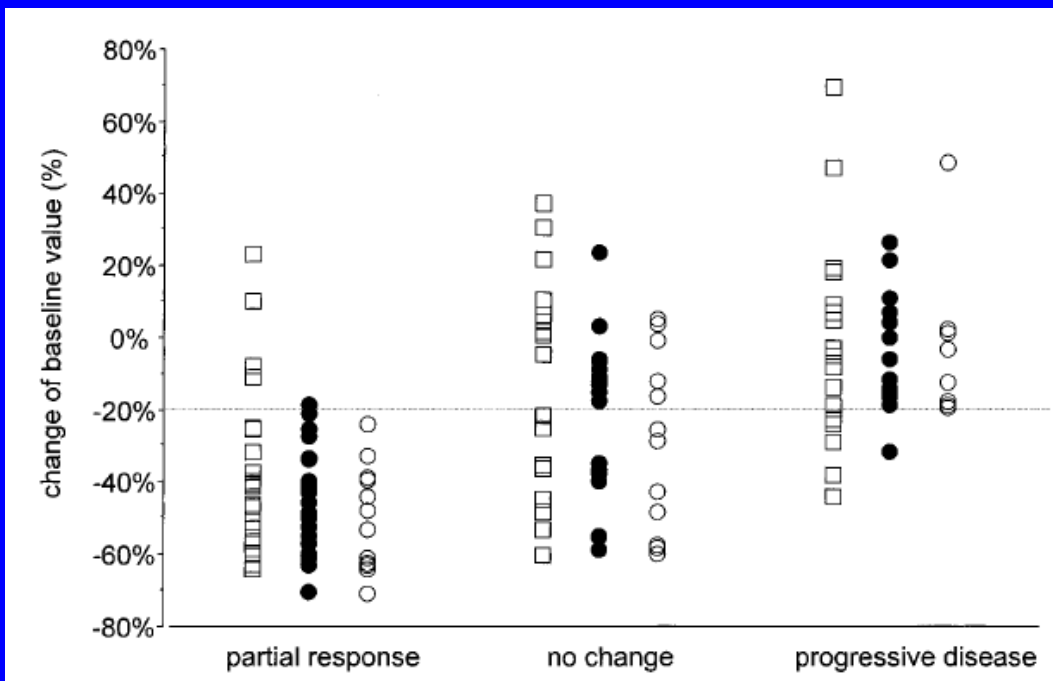


nach Therapie

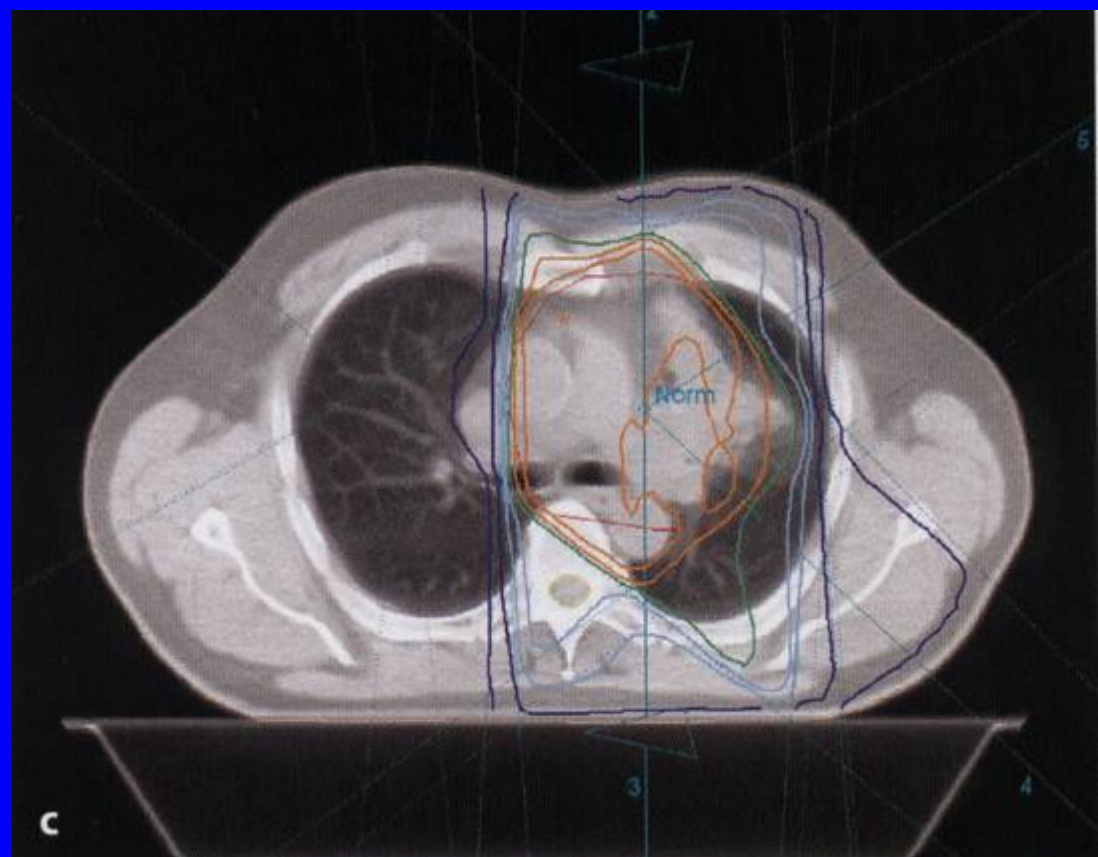
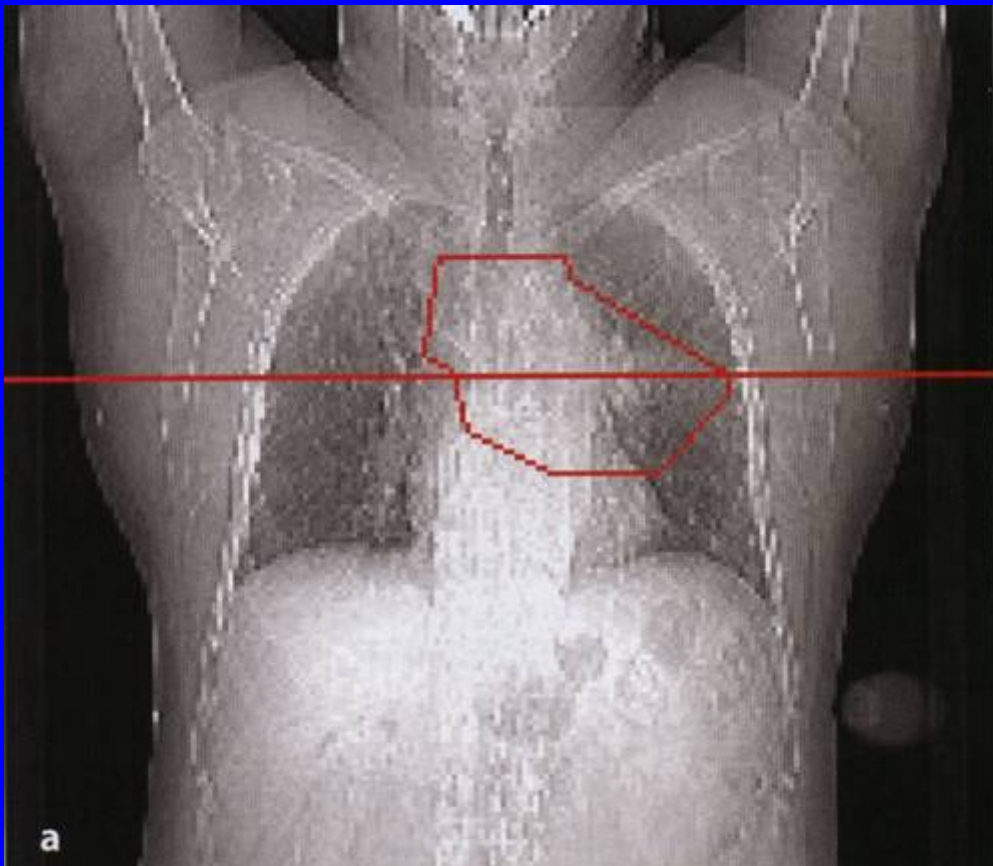
Positron Emission Tomography in Non-Small-Cell Lung Cancer: Prediction of Response to Chemotherapy by Quantitative Assessment of Glucose Use

By Wolfgang A. Weber, Volker Petersen, Burkhard Schmidt, Leishia Tyndale-Hines, Thomas Link, Christian Peschel, and Markus Schwaiger

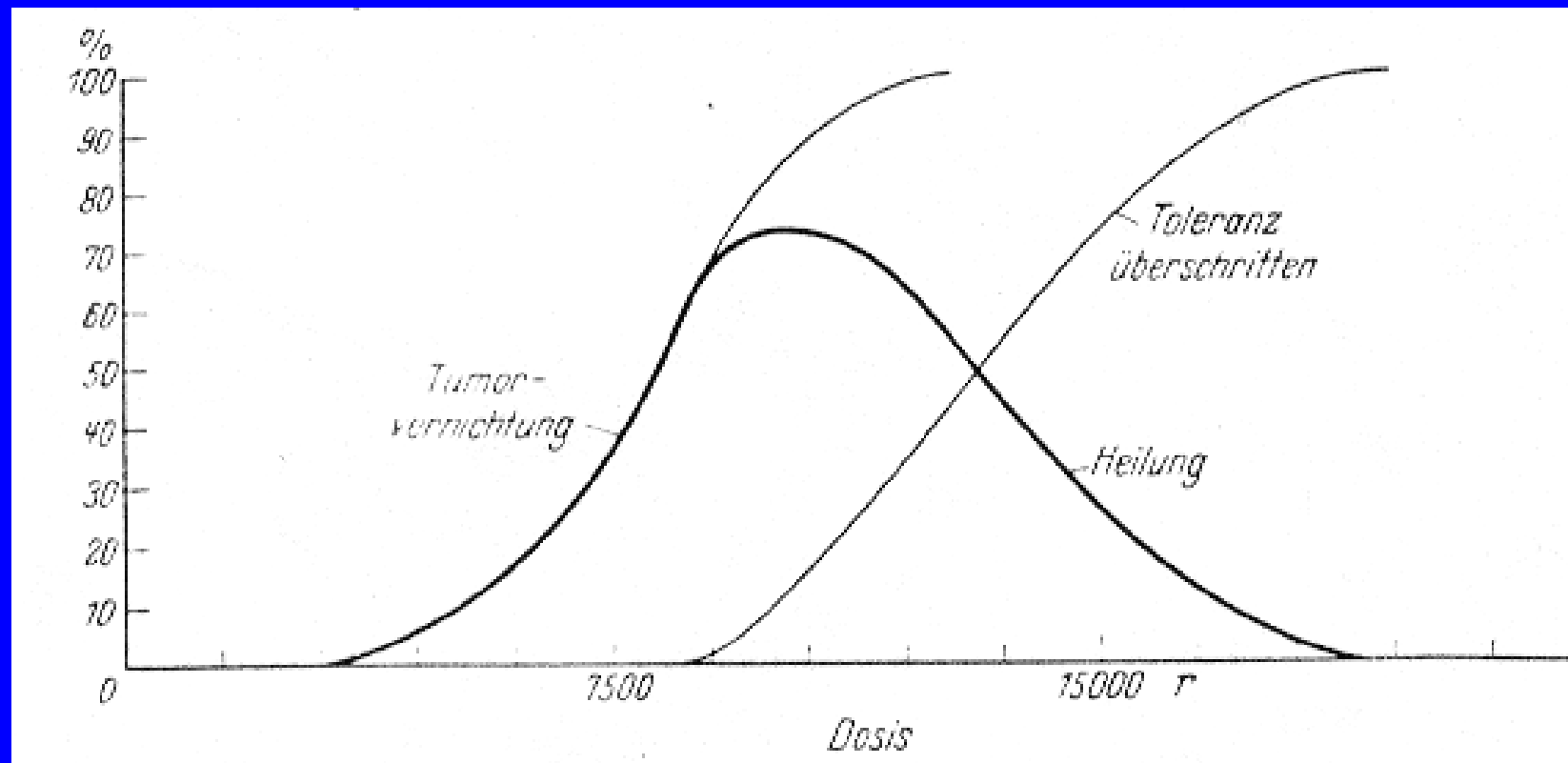
N 57 Pat., FDG vor und nach dem ersten Zyklus (Tag 21)



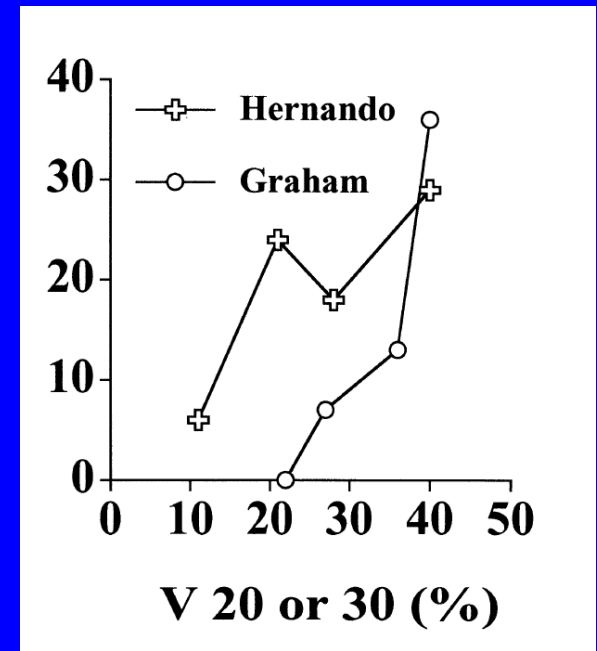
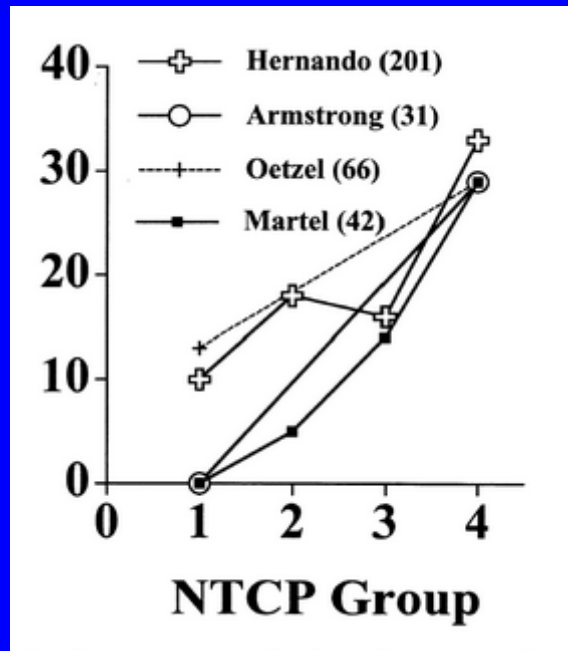
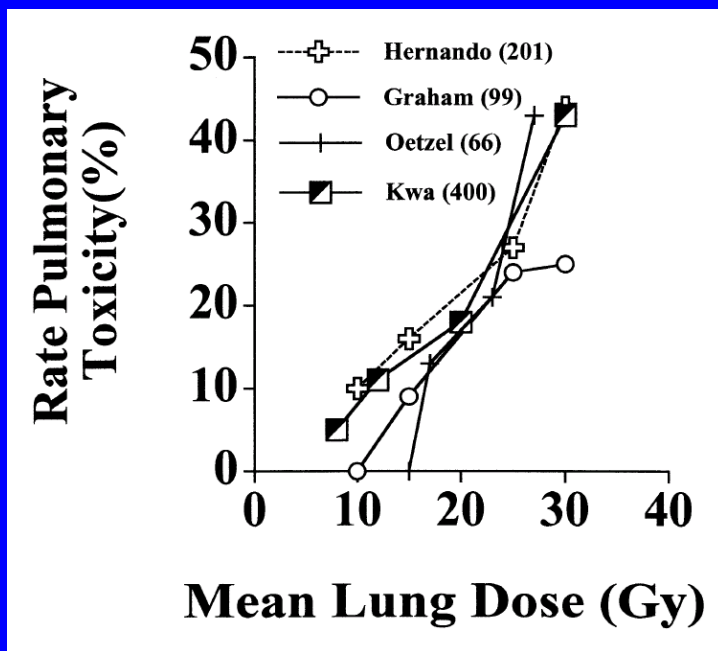
Derzeitiger Standard: 3D-CRT



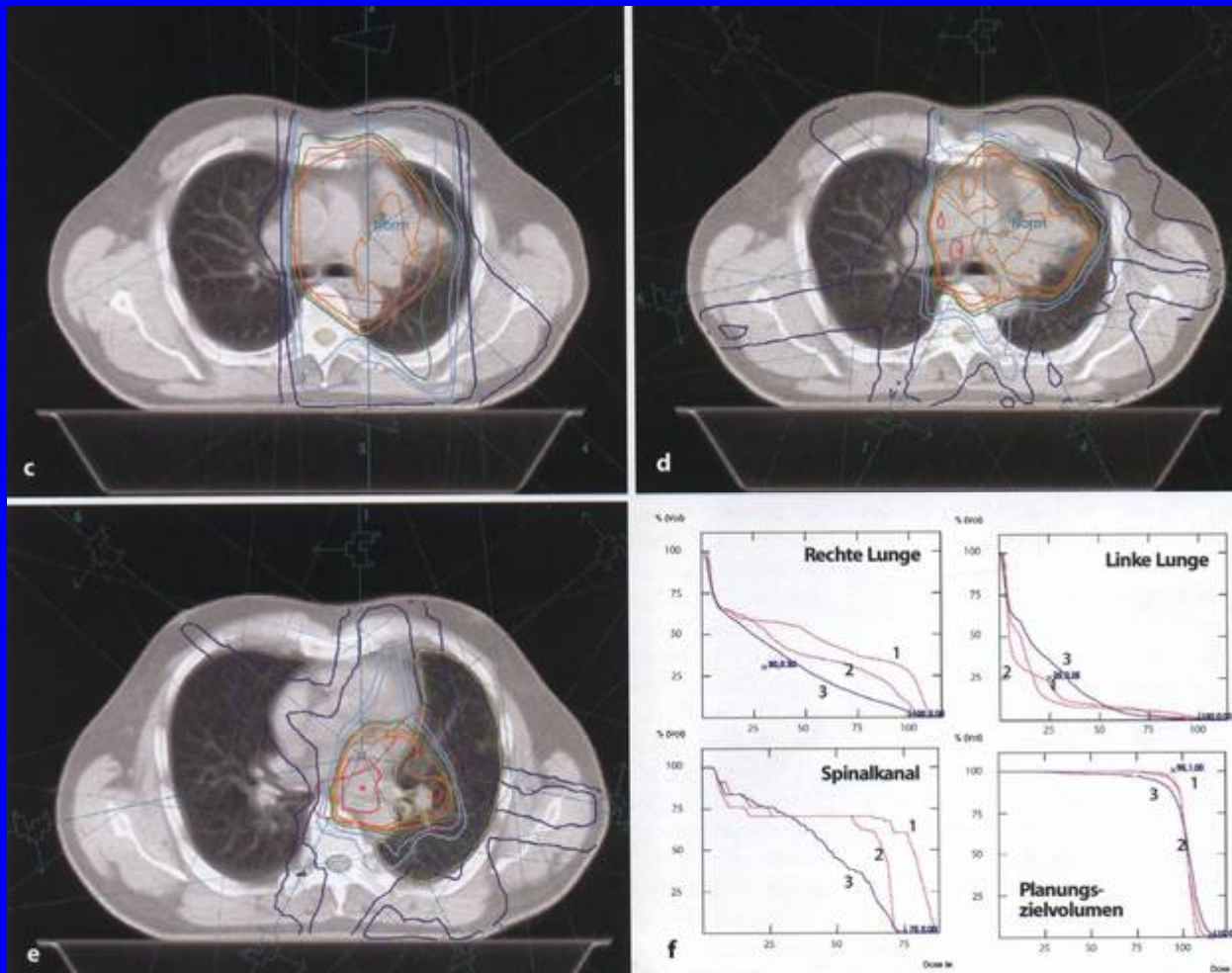
Verbesserung des therapeutischen Verhältnisses



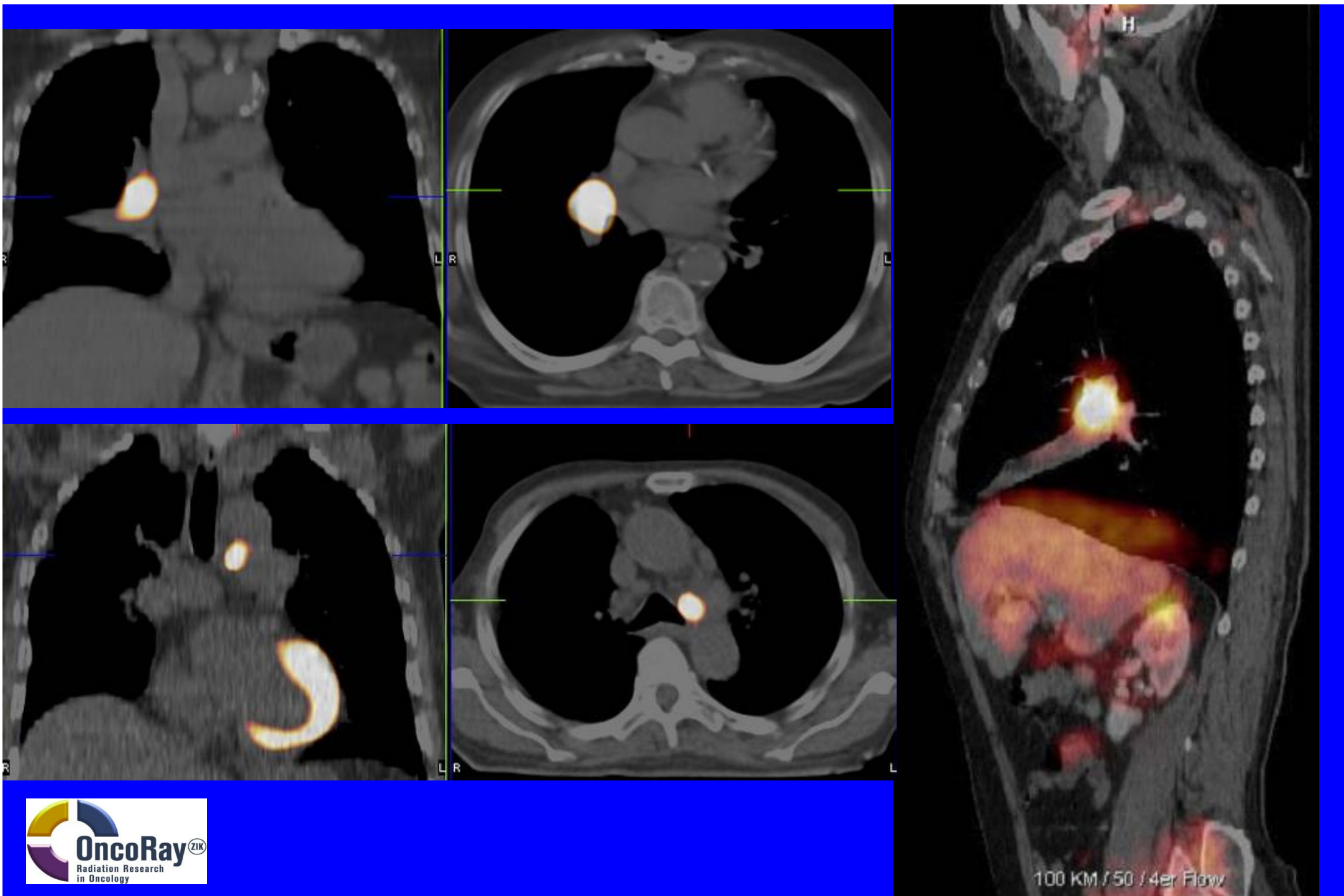
Radiogene Pneumonitis & Fibrose: Abhängigkeit vom Volumen

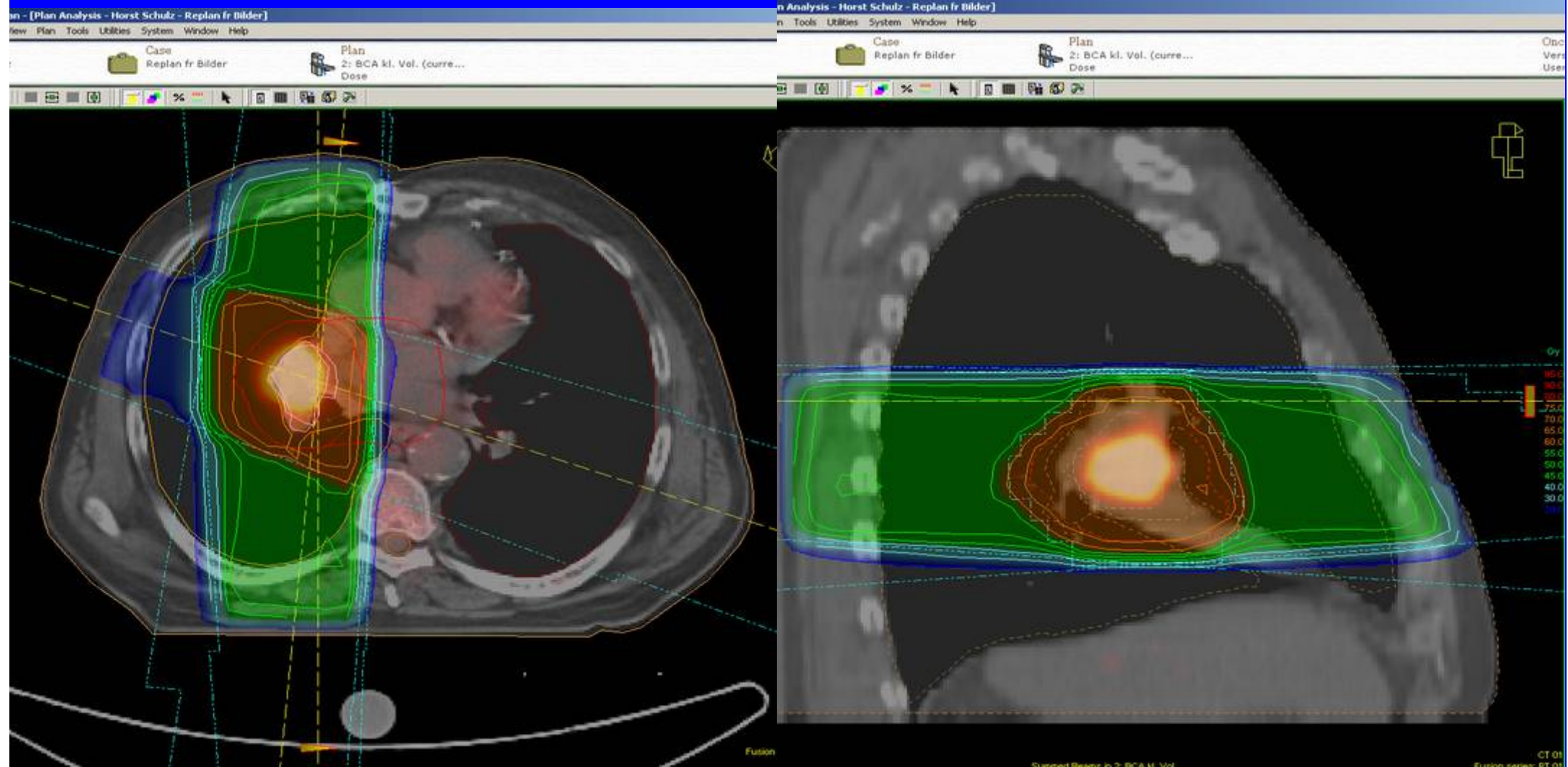


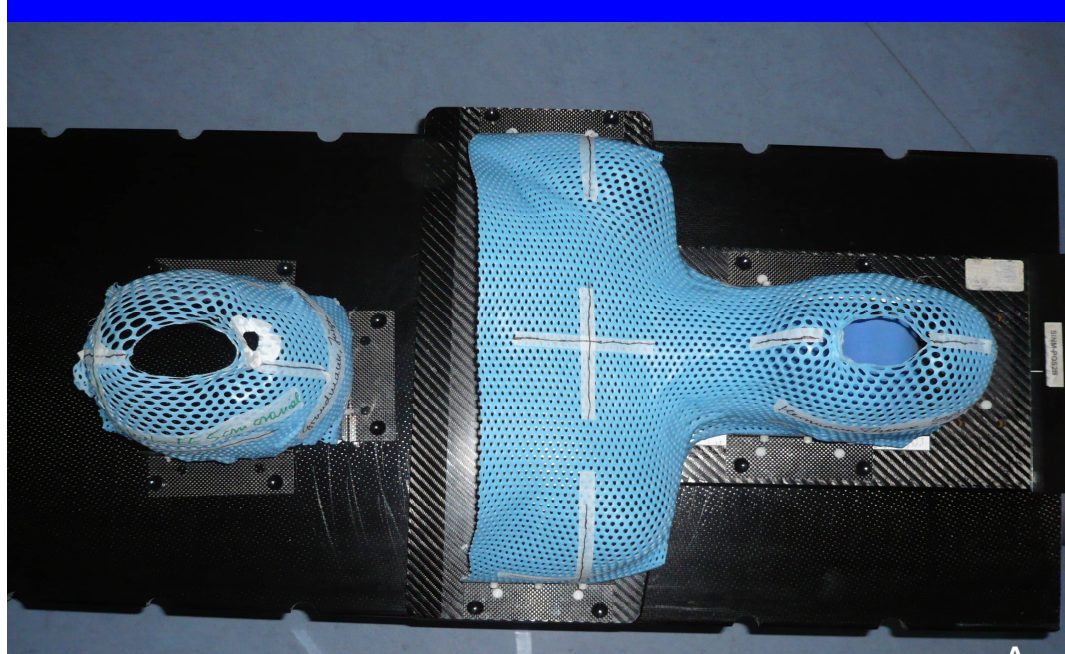
Intensitätsmodulierte Strahlentherapie



Baumann, Flentje, Drings, *Der Onkologe* 8: 448-461, 2002







A

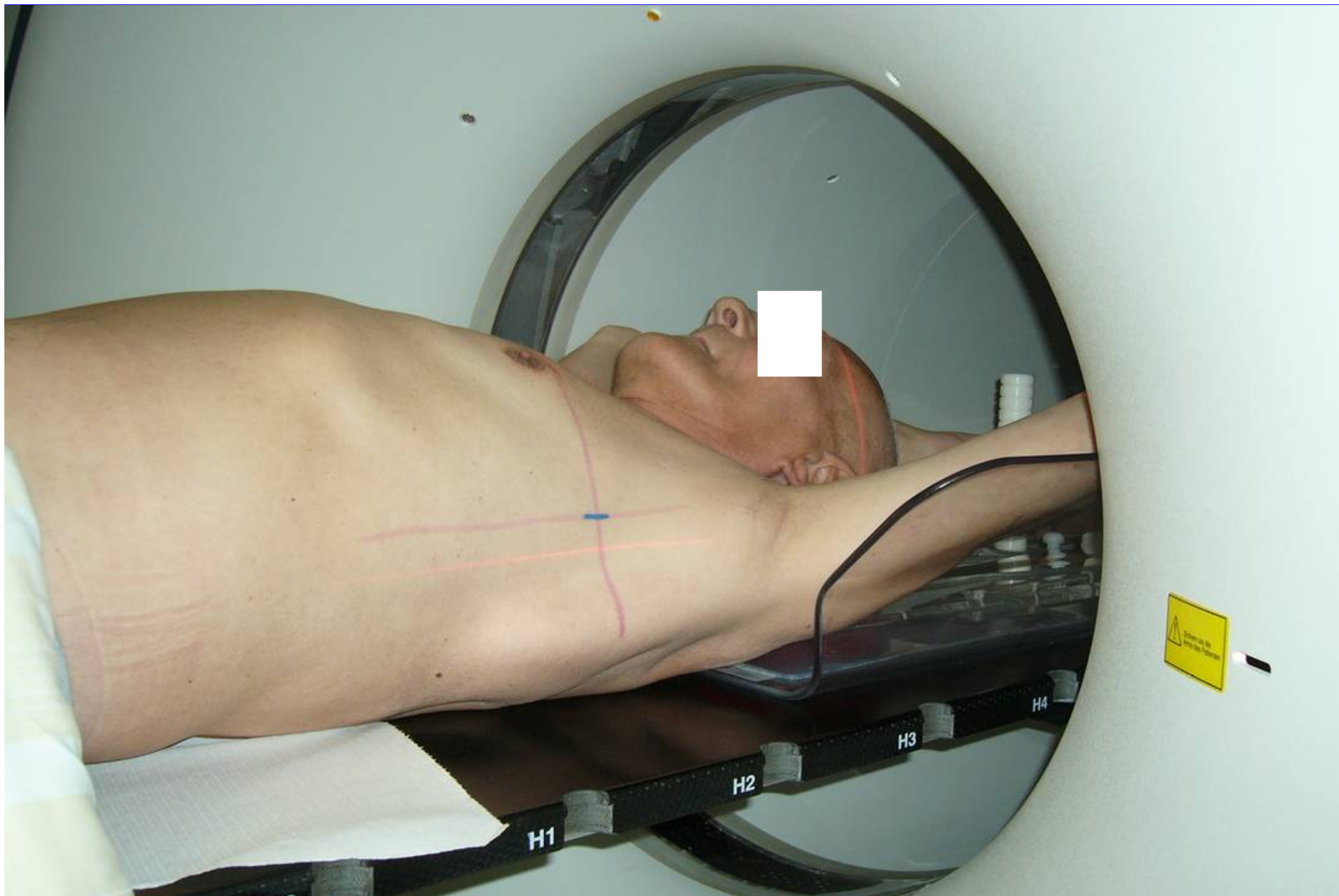


B

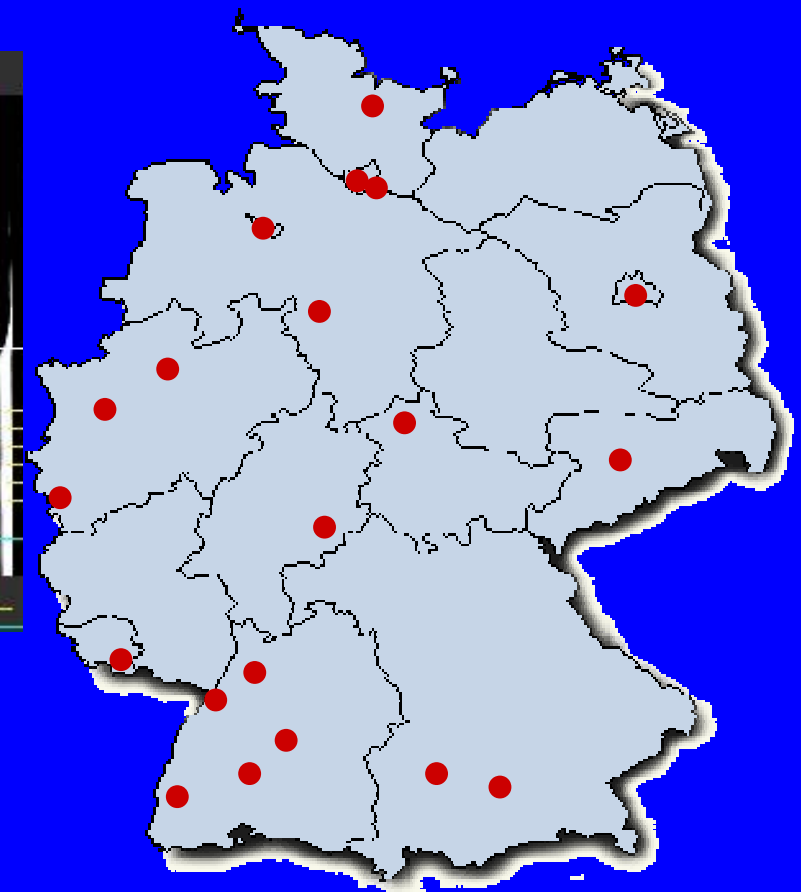
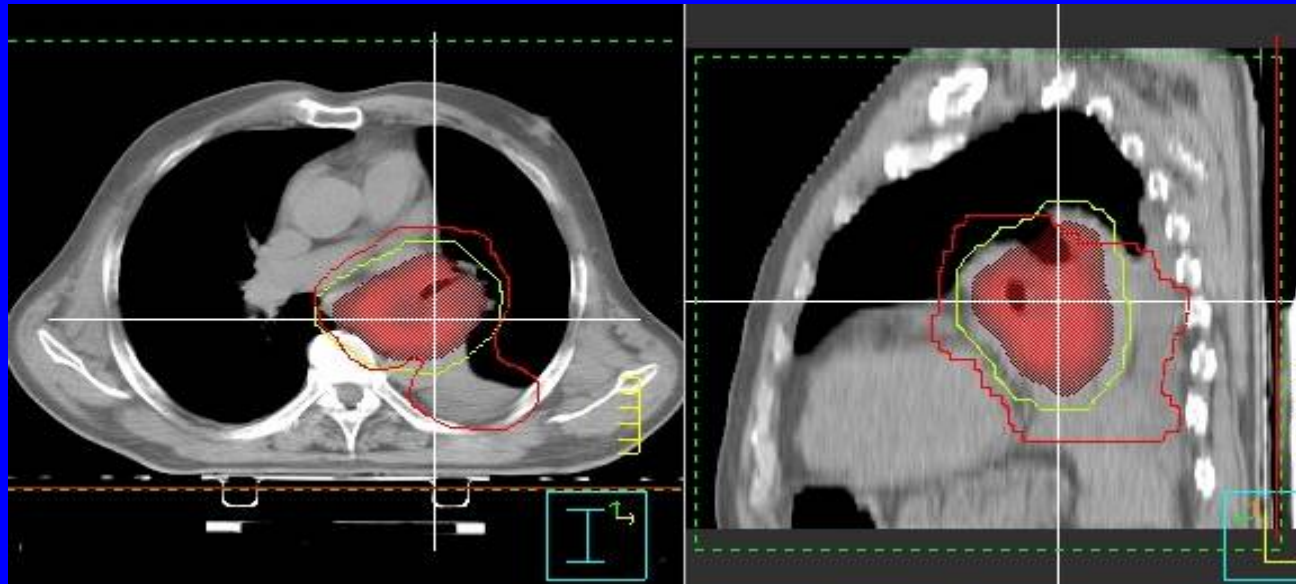


C





FDG-PET in der Strahlentherapieplanung bei NSCLC: PET-PLAN



— PTV (definiert nach FDG-PET)

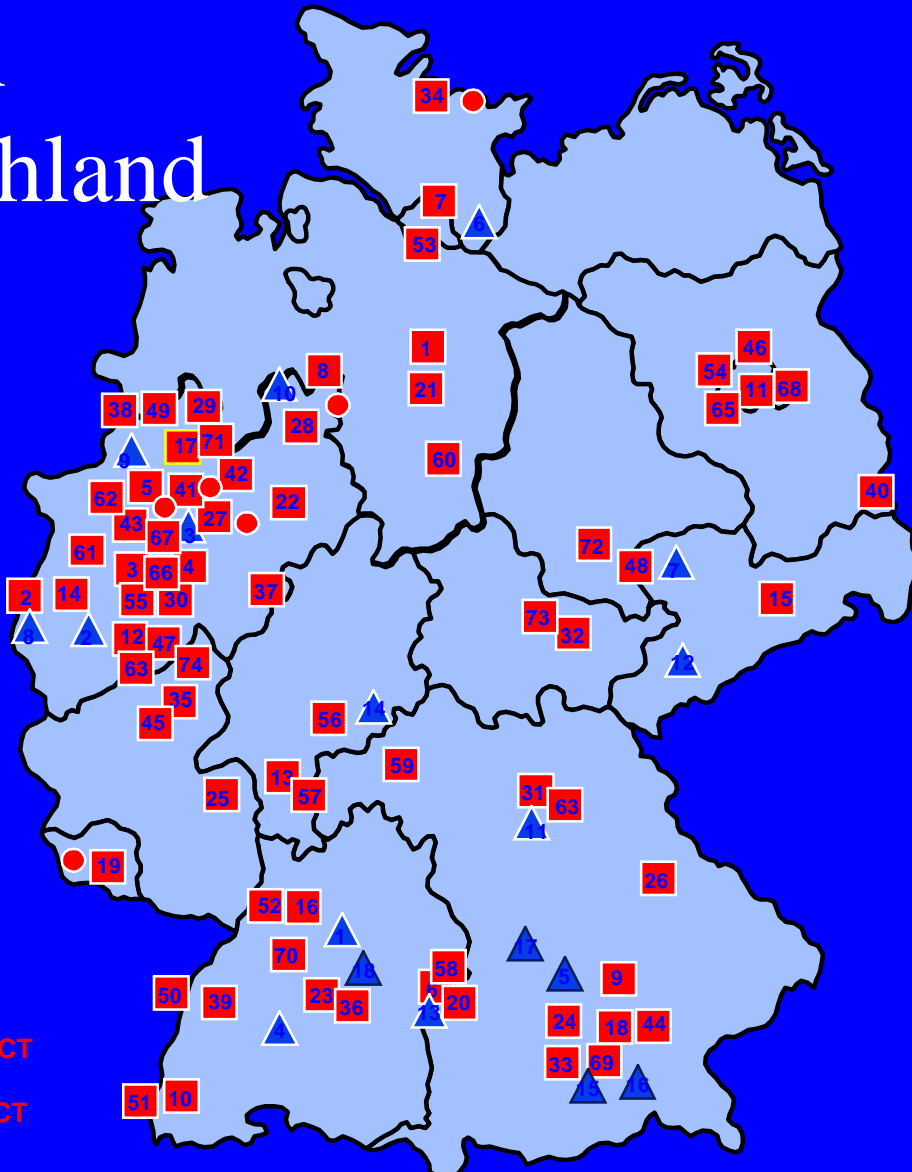
— PTV (definiert nach CT)

PET-Standorte in Deutschland

Mai 2004

- 1 Heidelberg
- 2 Jülich
- 3 Düsseldorf
- 4 Tübingen
- 5 München
- 6 Hamburg
- 7 Leipzig
- 8 Aachen
- 9 Oberhausen
- 10 Bielefeld
- 11 Nürnberg
- 12 Zwickau
- 13 Ulm PET/CT
- 14 Fulda
- 15 München
- 16 München PET/CT
- 17 Augsburg
- 18 Stuttgart PET/CT

△ Installationen andere



■ Installationen Siemens

1	Hannover	41	Dortmund
2	Aachen	42	Hamm
3	Köln	43	Essen
4	Köln	44	München
5	Essen	45	Koblenz
6	Ulm	46	Berlin-Buch
7	Hamburg	47	Bonn
8	Bad Oeynhausen	48	Leipzig
9	München	49	Coesfeld
10	Freiburg	50	Ludwigshafen
11	Berlin-Charité	51	Freiburg
12	Bonn	52	Heidelberg
13	Frankfurt	53	Hamburg
14	Jülich	54	Berlin-Europet
15	Rossendorf	55	Köln
16	Heidelberg	56	Neuromed Mobile PET
17	Münster		Castrop-Rauxel
18	München		Kiel
19	Homburg/Saar		Braunschweig
20	Ulm		Lüdenscheid
21	Hannover biograph		Osnabrück
22	Wuppertal		Leverkusen
23	Stuttgart		Bergisch-Gladbach
24	München	57	Frankfurt
25	Mainz	58	Ulm
26	Regensburg	59	Würzburg
27	Düsseldorf	60	Göttingen
28	Lemgo	61	Mönchengladbach
29	Münster	62	Essen / biograph
30	Köln	63	Erlangen
31	Erlangen	64	Bonn / biograph
32	Jena	65	Berlin
33	München	66	Köln
34	Kiel	67	Hemer
35	Koblenz	68	Berlin / biograph
36	Plochingen	69	München / biograph
37	Siegen	70	Tübingen / biograph
38	Rheine	71	Münster / biograph
39	Karlsruhe	72	Halle
40	Frankfurt/Oder	73	Bad Berka Biograph
		74	Bonn biograph

PET(/CT) Indikationen NSCLC

- Artdiagnose (z.B. unklarer Lungenrundherd)
- Staging vor Operation, kurativer Bestrahlung oder Chemotherapie
- Therapie-Monitoring bei neo-adjuvanter Chemotherapie
- Verbesserung der Bestrahlungsplanung (Zielvolumen-Definition, Dosis-Eskalation)
- Rezidiv-Diagnostik bei Therapie-Optionen